87. Optisch aktive 4,5-Epoxy-4,5-dihydro-α-ionone und Synthese der stereoisomeren 4,5:4',5'-Diepoxy-4,5,4',5'-tetrahydro-ε,ε-carotine und der sterische Verlauf ihrer Hydrolyse

von Peter Uebelhart, Andreas Baumeler, Andreas Haag, Roland Prewo, Jost Hans Bieri und Conrad Hans Eugster*

Organisch-chemisches Institut der Universität Zürich, Winterthurerstrasse 190, CH-8057 Zürich

(1.IV.86)

Optically Active 4,5-Epoxy-4,5-dihydro-α-ionones; Synthesis of the Stereoisomeric 4,5:4',5'-Diepoxy-4,5,4',5'-tetrahydro-ε,ε-carotenes and the Steric Course of their Hydrolysis

We prove that epoxidation with peracid of α -ionone, contrary to a recently published statement, predominantly leads to the cis-epoxide. Acid hydrolysis affords a single 4,5-glycol whose structure, established by an X-ray analysis, shows that oxirane opening occurred with inversion at the least substituted position (C(4)). Stable cis- and trans-epoxides are prepared by epoxidation of the C_{15} -phosphonates derived from α -ionone. Both the racemic and optically active form are used for the synthesis of the 4,5:4',5'-diepoxy-4,5,4',5'-tetrahydro- ε , ε -carotenes having the following configuration in the end groups: meso-cis/cis, meso-trans/trans, rac- and (6R, 6'R)-trans/trans, and (6R, 6'R)-trans/trans, trans/trans, trans/trans, and trans/trans and trans/trans/trans and trans/trans/trans and trans/trans/trans/trans and trans/trans/trans/trans and trans/

1. Einleitung. – Angesichts der ausserordentlich weiten Verbreitung von Epoxycarotinoiden in der Pflanzenwelt fällt auf, das bis heute noch keine Epoxide von Carotinoiden mit ε -Endgruppen bekannt geworden sind. Auch bei *in-vitro*-Epoxydierungen von Carotinen und Carotinoiden, welche gleichzeitig β - und ε -Endgruppen besitzen, wurden bisher nur 5,6-Epoxide isoliert; die ε -Endgruppe wurde nicht angegriffen¹).

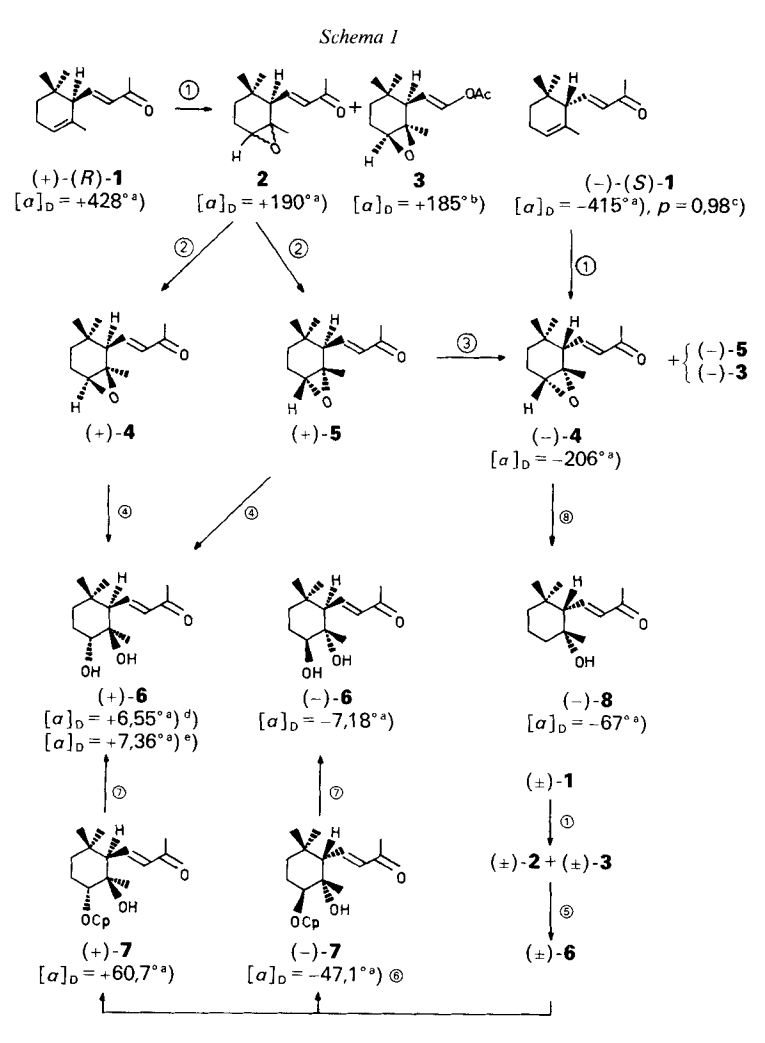
Um die noch nicht bekannten Eigenschaften von 4,5-Epoxycarotinoiden kennen zu lernen und sie mit denen der 5,6-Epoxide zu vergleichen, haben wir nun die stereoisomeren 4,5:4',5'-Diepoxy-4,5,4',5'-tetrahydro- ε , ε -carotine hergestellt. Als Ausgangsmaterial dienten α -Ionon und Derivate. Dabei erwies es sich als notwendig, den sterischen Verlauf der Epoxydierung von α -Ionon genauer zu untersuchen.

2. Stereochemie der Epoxydierung von α -Ionon mit Persäuren. – Karrer und Stürzinger [1] hatten erstmals gezeigt, dass sich (\pm) - α -Ionon $((\pm)$ -1) mit Persäure an C(4)/C(5) und mit $H_2O_2/Base$ an C(7)/C(8) selektiv epoxydieren lässt²). Über die Konfiguration der

¹⁾ Das schliesst nicht aus, dass die Mutterlaugen nicht doch kleinere Mengen an 4,5-Epoxycarotinoiden enthal-

²⁾ Numerierung analog Carotinoid-Nomenklatur.

4,5-Epoxide wurden später verschiedene Ansichten geäussert: nach Ohloff und Mignat [2] erfolgt die Ring-Epoxydierung cis zur Seitenkette, eine Ansicht, mit der auch Experimente von [3] [4] übereinstimmen. Später erkannten Kaiser und Lamparsky [5], dass in Wirklichkeit ein Gemisch entsteht aus einem stabilen Hauptprodukt, dem sie trans-Konfiguration zuschrieben, und einem in geringerer Menge gebildeten, labilen Epoxid, wel-



- a) In EtOH.
-) tatsächlich gemessen am Enantiomeren [16].
- Optische Reinheit, bezogen auf den höchsten in der Literatur beschriebenen [α]_D-Wert von 422° [17] [18].
- d) Aus (+)-(R)-1.
- e) Aus (±)-1.

- ① m-Chlorperbenzoesäure/CHCl₃.
- ② SC (Silicagel) mit Hexan/AcOEt 4:1.
- 3 Epimerisierung an C(6) via Enol.
- \oplus H₂SO₄/H₂O/THF/RT, vgl. [1].
- ⑤ H₂SO₄/EtOH/RT. [1].
- ® Racematspaltung via Camphanoyl-chlorid nach der Methode von [18].
- O KOH/MeOH/RT.
- ® DIBAH/Et₂O; MnO₂.

chem demnach die *cis*-Konfiguration zukäme³). Diese Ansicht wurde z.B. auch von *Nicolaou* und *Wen Sen Li* [6] übernommen.

Die erneute Überprüfung der Stereochemie der Epoxydierung von α -Ionon ist deshalb dringend geworden, da wir uns seit einiger Zeit auf die Resultate von [2] gestützt hatten und uns zur Herleitung der absoluten Konfiguration der Monoepoxy-dihydro- β , β -, Monoepoxy-dihydro- β , ε - und Monoepoxy-dihydro- β , ψ -carotine [7] [8], von Azafrin [9], der Isozeaxanthine [10] [11], der Mutatochrome [12], von 5,6:5',6'-Diepoxy-te-trahydro- β , β -carotin [13], der Aurochrome [14] und der Luteochrome [15] auf eine zumindest vorwiegende cis-Epoxydierung der enantiomeren α -Ionone verliessen.

In Schema 1 sind unsere neuen Untersuchungen über die Stereochemie der Epoxydierung von α -Ionon (1) zusammengefasst. Die vorweggenommenen Konfigurationen zeigen, dass die Epoxydierung in Übereinstimmung mit [2] vorwiegend eis zur Seitenkette erfolgt.

Wie schon bekannt [16], entstanden aus α-Ionon (1) mit Persäure 3 Produkte im Verhältnis von ca. 84:14:2 (GC); je nach Bedingungen verschob sich diese Zusammensetzung zugunsten des Hauptproduktes. Der in geringster Menge gebildeten Verbindung wurde die Struktur des Baeyer-Villiger-Produktes 3 zugeordnet und das in geringerer Menge gebildete Epoxid des Gemisches 2 erwies sich als labil [16]. Mit präparativer Säulenchromatographie wurde das Epoxid-Gemisch nun sowohl in racemischer Form als auch in der (+)-(R)-Reihe in die Stereoisomeren 4 und 5 getrennt. Es gelang, das labile Epoxid bis auf ca. 98 % anzureichern (vgl. auch [5]). In den H-NMR-Spektren von 4 und 5 zeigen sich besonders charakteristische Unterschiede bei den Signalen der CH₃-Gruppen, von H-C(4) und von H-C(6) (s. Exper. Teil). Die Cotton-Effekte im Bereich der K-Bande (222 nm) sind, wenn auch mit unterschiedlicher Intensität, positiv, was die unveränderte (6R)-Chiralität belegt. Wie unten gezeigt wird, ist aus (+)-(R)-1 das cis-Epoxid (+)-4 zu 84 % und das labile trans-Epoxid (+)-5 zu 14 % entstanden.

Bei der Hydrolyse mit H₂SO₄/H₂O/THF entstand aus beiden Stereoisomeren (+)-4 und (+)-5 dasselbe Glycol (+)-6, identisch in den skalaren Eigenschaften mit dem in [1] beschriebenen Präparat, dem nach Einkristall-Röntgenstrukturanalyse⁴) die Struktur (±)-6 zukommt (s. *Kap. 3*). Demnach liegen OH-C(5) und die Seitenkette in 6 in *cis*-Stellung vor. Dieser Befund überraschte, hätten wir doch in Analogie zum sterischen Verlauf der Hydrolyse von konformativ nichtfixierten, trisubstituierten Oxiranen annehmen dürfen, dass die Inversion am höhersubstituierten C-Atom erfolge (vgl. [19]), d. h. dass das *cis*-Epoxid (+)-4 ein Diastereoisomeres von (+)-6 ergäbe. Da dies nicht der Fall war, stand das Resultat der Hydrolyse im vollständigen Gegensatz zu unseren bisherigen Annahmen.

Die cis-Stellung von Epoxid und der Seitenkette von 4 wurde schliesslich wie folgt bewiesen. Schon früher hatten wir aus (-)-(S)-1 durch Epoxydierung und Reduktion des Gemisches der stereoisomeren Epoxide mit Diisobutylaluminium-hydrid (DIBAH)/Et₂O gefolgt von MnO₂-Oxydation das 4,5-Dihydro-5-hydroxy- α -ionon (-)-8 erhalten [16]. Dessen Röntgenstrukturanalyse (s. Kap.3) ergab ebenfalls cis-Stellung von OH-C(5) und Seitenkette. Wäre das Hauptprodukt der Epoxydierung von (+)-(R)-1 trans-konfiguriert (d. h. (+)-5), so müsste es sich vor oder während der Reduktion mit DIBAH durch Epimerisierung an C(6) in das labile Nebenprodukt (-)-4 mit cis-Konfiguration umwan-

³⁾ Im folgenden beziehen sich die Bezeichnungen cis/trans immer auf die Beziehung der Epoxy-Gruppe zur Seitenkette

⁴⁾ Ausgeführt an dem umkristallisierten Originalpräparat von [1].

deln, welches dann (-)-(6S)-8 liefern würde. Aus (-)-(S)- α -Ionon ((-)-(S)-1) wurde jedoch (-)-(6S)-8 erhalten. Die Konfiguration an C(6) von (-)-(6S)-8 folgt zudem aus dem ausgeprägt negativen *Cotton*-Effekt im Bereich der K-Bande mit $\Delta \varepsilon = -2,96$ bei 233 nm). Somit ist keine ins Gewicht fallende Epimerisierung an C(6) eingetreten.

lst das Hauptprodukt der Epoxydierung von (+)-(R)-1 das cis-Epoxid (+)-4, so kommt dem labilen Nebenprodukt trans-Konfiguration ((+)-5) zu. Dessen Umwandlung in das stabile Diastereoisomere (+)-4 verläuft vermutlich über eine Enolisierung an C(6) und der Enon-Seitenkette. Das ist aber gleichbedeutend mit einer partiellen Racemisierung des cis-Epoxids! Verläuft nun die Hydrolyse zum Glycol über das stabilere cis-Epoxid, sei es unter Inversion an C(4) oder C(5) und Retention der Konfiguration an C(6), so muss das erhaltene 4,5-trans-Glycol, ungeachtet der Konfiguration an C(4) und C(5) einen positiven Cotton-Effekt im Bereich der K-Bande zeigen. Dies ist tatsächlich der Fall: das CD-Maximum bei 233 nm hat $\Delta \varepsilon = +3,63$.

Zur Stützung der obigen Interpretation wurde racemisches α -Ionon ((\pm)-1) epoxydiert, das erhaltene (\pm)-2 hydrolysiert und das isolierte Glycol (\pm)-6 mit (-)-Camphanoyl-chlorid an OH-C(4) zu den diastereoisomeren Estern (+)-7/(-)-7 verestert, welche durch präp. HPLC getrennt wurden. Verseifung gab aus (+)-7 das Diol (+)-6, welches mit demjenigen, das aus (+)-(R)- α -Ionon ((+)-(R)-1) hergestellt worden war, bis auf geringe Unterschiede in den [α]_D-Werten identisch war, mit ebenfalls positivem *Cotton*-Effekt bei 235 nm. Dies beweist die (R)-Chiralität an C(6). Aus dem Ester (-)-7 entstand das Glycol (-)-6 mit spiegelbildlicher CD-Kurve.

Die Epoxydierung von α -Ionon mit Persäuren ergibt also das stabile *cis*-Epoxid **4** als Haupt- und das labile *trans*-Epoxid **5** als Nebenprodukt. Die Angaben von [5] [6] sind deshalb zu revidieren⁵).

⁵⁾ Im Einklang mit den Angaben in Schema 1 stehen unter anderem auch die folgenden Befunde: die CD-Vergleiche zwischen (3R, 3'R)-Zeaxanthin und den aus (-)-(S)-α-Ionon synthetisierten Isozeaxanthinen [10] [11]; die chiroptischen Eigenschaften der auf verschiedenen Wegen aufgebauten 6-Hydroxy-α-ionone [20] [21]; die Synthese von (+)-Azafrin und der Abbau von (-)-Azafrin zu (-)-(R)-Dihydroactinidiolid bzw. (+)-(S)-Dihydroactinidiolid [9]; die weitgehend identischen chiroptischen Eigenschaften von (5R,6S,5'R,6'S)-Diepoxytetrahydro-β,β-carotin und Violaxanthin [13].

Die Hydrolyse des cis-Epoxids 4 erfolgt anti-Markownikoff unter Inversion am tertiären Zentrum C(4) unter Bildung von 6. Dieser unerwartete Verlauf der Epoxid-Öffnung ist in Schema 2 gedeutet. Bei Vorliegen einer konformativen Kontrolle mit diaxialer Öffnung des Epoxides (+)-4 müsste zur Erklärung des Produktes (+)-6 angenommen werden, dass die Reaktion allein aus der Konformation A erfolgt, denn aus B würde ja das bisher nicht nachgewiesene Glycol 9 entstehen.

Eine attraktivere Erklärung⁶) geht von einer Polarisation der Enon-Seitenkette durch Protonierung und einer Nachbargruppenbeteiligung des Oxiran-O-Atoms zur Stabilisierung der Ladung aus (siehe C). Dabei wird die (C-O)-Bindung an C(4) unter Inversion und Bildung des gespannte Vinyloxetans **D** gelöst. Konzertierte Ketonisierung und Oxetan-Öffnung liefern hierauf direkt (+)-6.

3. Einkristall-Röntgenstrukturanalysen von (\pm) -6 und von (-)-8⁷). Die Intensitäten der Reflexe wurden mit Mo K_{α} -Strahlung (Graphit-Monochromator) auf einem Nicolet-R3-Vierkreisdiffraktometer im ' ω -scan' gemessen und den üblichen Korrekturen unterworfen (ohne Absorptionskorrektur). Jene Reflexe, deren Intensität $I < 0.5\delta(I)$ war, wurden auf $I = 0.25\delta(I)$ gesetzt.

Die Daten sind in Tab. 1 zusammengestellt. Die Strukturaufklärung durch direkte Methoden und die Verfeinerung erfolgten mit dem Programmsystem SHELXTL⁸). Alle H-Atome wurden durch Differenz-Elektronendichteberechnungen lokalisiert. Sie wurden mit isotropen, die übrigen Atome mit anisotropen Temperaturfaktoren verfeinert. In der letzten geblockten Kaskadenverfeinerung wurden die Variablen unter Einschluss aller symmetrieunabhängigen Reflexe zur vollständigen Konvergenz gebracht.

	(±)-6	(-)-8
Kristalle	$0.5 \times 0.5 \times 0.4$ mm, farblos, aus CH ₂ Cl ₂ /Petrolether	$0.5 \times 0.2 \times 0.2$ mm, farblos, aus Hexan
Kristalltemp.	ca. 22°	ca. 22°
Raumgruppe	$P2_1/c$	P2 ₁ 2 ₁ 2 ₁
Formel der asymmetrischen Einheit	$C_{13}H_{22}O_3$	$C_{13}H_{22}O_2$
Molekulargewicht	226,32	210,32
Gitterparameter		
Zahl der hierfür zentrierten Reflexe	72	72
Bereich	$36^{\circ} < 2\theta < 44^{\circ}$	$30^{\circ} < 2\theta < 37^{\circ}$
a	7,482(1) Å	7,583 Å
b	11,715(1) Å	12,417(1) Å
c	15,800(I) Å	14,069(2) Å
β	106,97(1)°	
V	$1324,5 \text{ Å}^3$	1324,7 Å ³
Berechnete Dichte	$1,14 \text{ g/cm}^3$	$1,06 \text{ g/cm}^3$
Datensammlung		
$2\theta_{max}$	58°	50°
Zahl der symmetrieunabhängigen Reflexe	3518	1353
Absorptionskoeffizient	$0.74 \mathrm{cm}^{-1}$	$0,64 \text{ cm}^{-1}$
Verfeinerung		
Zahl der Variablen	233	224
Blockung (Variablen/Block, ca.)	100	100
Gewichtsschema, 1/w	$\sigma^2(F) + 0.0004F^2$	$\sigma^2(F) + 0.0006F^2$
R	0,067	0,045
R_w	0,056	0,042

Tab. 1. Daten zu den Röntgenstrukturanalysen von (\pm) -6 und (-)-8

Wir danken Prof. Jack Baldwin, Oxford University, für eine Diskussion der möglichen Mechanismen dieser Reaktion (20.6.1984).

⁷⁾ Ausgeführt von R. P. und J. H. B., bei denen auch weitergehende Informationen bezogen werden können.

⁸⁾ G. M. Sheldrick, SHELXTL, an integrated system for solving, refining and displaying crystal structures from diffraction data, version 3.0, 1981.

43(1)

Atom	x/a	y/b	z/c	U^a)
C(1)	2276(2)	1636(1)	4202(1)	34(1)
C(2)	3104(2)	515(1)	3977(1)	43(1)
C(3)	2284(2)	151(1)	3016(1)	46(1)
C(4)	194(2)	-21(1)	2795(1)	37(1)
O(4)	-238(2)	-930(1)	3307(1)	51(1)
C(5)	-812(2)	1058(1)	2972(1)	29(1)
O(5)	-615(1)	1921(1)	2353(1)	37(1)
C(6)	102(2)	1508(1)	3924(1)	29(1)
C(7)	-844(2)	2580(1)	4083(1)	32(1)
C(8)	-1412(2)	2779(1)	4793(1)	36(1)
C(9)	-2278(2)	3847(1)	4966(1)	37(1)
O(9)	-2552(2)	3993(1)	5682(1)	62(1)
C(10)	-2857(3)	4747(1)	4270(1)	51(1)
C(11)	2943(2)	2650(1)	3761(1)	48(1)
C(12)	3001(2)	1800(1)	5209(1)	48(1)

Tab. 2. Atomkoordinaten ($\times 10^4$) und äquivalente isotrope Temperaturfaktoren ($\mathring{A}^2 \times 10^3$) von (\pm)-6 ohne H-Atome

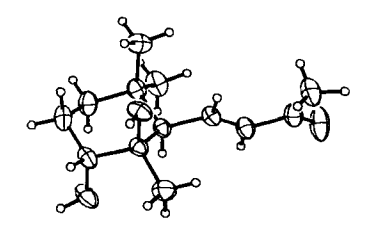
822(1)

Tab. 3. Atomkoordinaten ($\times 10^4$) und äquivalente isotrope Temperaturfaktoren ($\mathring{A}^2 \times 10^3$) von (-)-8 ohne H-Atome

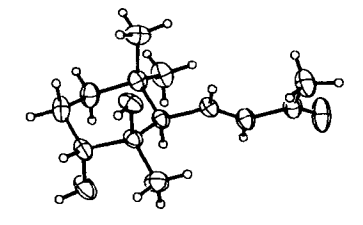
Atom	x/a	y/b	z/c	$U^{\mathbf{a}}$)
C(1)	6265(3)	5693(2)	4435(1)	59(1)
C(2)	7224(3)	6771(2)	4294(2)	74(1)
C(3)	7068(3)	7220(2)	3298(2)	80(1)
C(4)	5153(3)	7384(2)	3045(2)	71(1)
C(5)	4075(3)	6352(2)	3118(1)	55(1)
O(5)	4678(2)	5578(1)	2434(1)	67(1)
C(6)	4308(2)	5832(1)	4107(1)	49(1)
C(7)	3284(2)	4807(1)	4176(1)	48(1)
C(8)	2198(3)	4538(2)	4872(1)	53(1)
C(9)	1209(3)	3528(2)	4937(1)	54(1)
O(9)	395(2)	3310(1)	5659(1)	80(1)
C(10)	1153(4)	2775(2)	4113(2)	67(1)
C(11)	7204(3)	4782(2)	3908(2)	81(1)
C(12)	6294(4)	5434(2)	5500(2)	80(1)
C(13)	2127(3)	6592(2)	2939(2)	81(1)

a) S. Fussnote a, Tab. 2.

C(13)



-2878(2)



2822(1)

Fig. 1. Stereozeichnung von (±)-6. H-Atome mit willkürlichem Radius, übrige Atome mit thermischen Ellipsoiden, entsprechend 50% Aufenthaltswahrscheinlichkeit.

a) Der äquivalente isotrope Temperaturfaktor ist definiert als ein Drittel der Spur des orthogonalisierten U-Tensors.

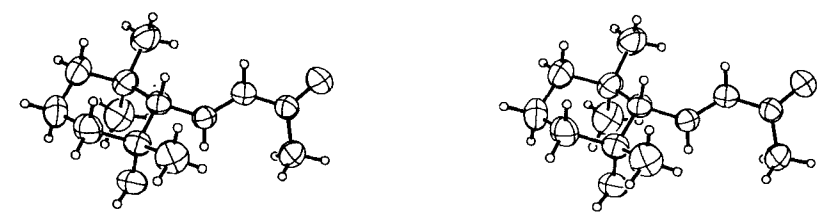


Fig. 2. Stereozeichnung von (-)-8. H-Atome mit willkürlichem Radius, übrige Atome mit thermischen Ellipsoiden, entsprechend 50% Aufenthaltswahrscheinlichkeit.

Die Atomkoordinaten sind in den Tab. 2 und 3 wiedergegeben. Die Fig. 1 und 2 zeigen die Stereoprojektionen von (\pm) -6 bzw. (-)-8.

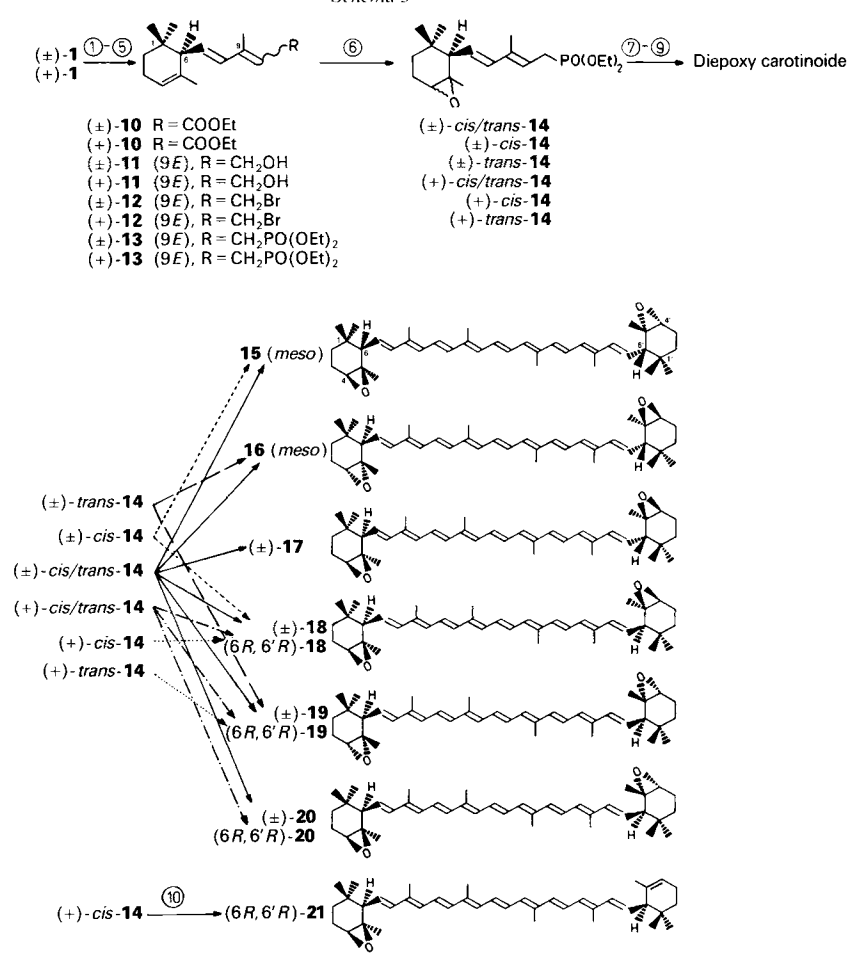
4. Synthese der stereoisomeren 4,5:4',5'-Diepoxy-4,5,4',5'-tetrahydro- ε , ε -carotine (s. Schema 3). – Mehrere Versuche, 4,5:4',5'-Diepoxy-4,5,4',5'-tetrahydrocarotine aus dem Epoxid-Gemisch (\pm)-2 herzustellen, gelangten ohne Schwierigkeiten bis zu den C₁₅-Epoxy-Verbindungen mit COOR, CH₂OH bzw. CH₂Br als funktionellen Gruppen, scheiterten jedoch bei der Herstellung der C₁₅-Phosphoniumsalze oder C₁₅-Phosphonaten. Aus (\pm)-6 mit verschiedenen Schutzgruppen für OH–C(4) liess sich zwar mit dem üblichen Aufbauprinzip C₁₅ + C₁₀-Dial + C₁₅ ein Tetrahydroxycarotin gewinnen, allerdings in schlechter Ausbeute und als schwierig zu trennendes Stereoisomerengemisch.

Erfolgreich war schliesslich die Epoxydierung auf einer späteren Stufe, nämlich auf derjenigen des aus (\pm) -1 auf üblichem Weg über (\pm) -10 und die (9E)- C_{15} -Verbindungen (\pm) -11 und (\pm) -12 erhaltenen Phosphonsäureesters (\pm) -13. Das dabei in guter Ausbeute erhaltene Gemisch der Epoxide enthielt die *cis/trans*-Epoxide (\pm) -*cis/trans*-14 zu etwa 60% neben einem anderen, bisher nicht näher untersuchten Epoxid. Nach chromatographischer Trennung wurde das Gemisch (\pm) -*cis/trans*-14 mit C_{10} -Dial kondensiert, wobei ein kristallines Diepoxycarotinoid erhalten wurde, das sich bei der HPLC-Untersuchung jedoch als Gemisch von 6 Komponenten erwies (Fig. 3). Die nachfolgenden Untersuchungen ergaben die erstaunliche Tatsache, dass alle Carotinoide (all-E)-Isomere von 4,5:4′,5′-Diepoxy-4,5,4′,5′-tetrahydro-carotin darstellten, und dass somit *alle theoretisch zu erwartenden Ringstereoisomeren vorhanden waren* nämlich 15, 16, (\pm) -17, (\pm) -18, (\pm) -19 und (\pm) -20. Mit Ausnahme von (\pm) -19 konnten alle Isomeren durch präp. HPLC getrennt und kristallisiert werden.

Mit Hilfe der 'H-NMR-Spektren ($\Delta\delta$ (CH₃(gem)), δ von H-C(4) und H-C(6); s. Exper. Teil) liess sich für die cis- und trans-Epoxide die relative Konfiguration herleiten. Zur Sicherung wurden die cis/trans-Epoxide (\pm)-cis/trans-14 durch HPLC getrennt und darauf einzeln zu den Carotinen umgesetzt. Dabei entstanden sowohl aus (\pm)-cis-14 als auch aus (\pm)-trans-14 nur je zwei Produkte, nämlich 15 und (\pm)-18 bzw. 16 und (\pm)-19.

Zur Unterscheidung der *meso*- (15, 16) und *racemo* -Verbindungen ((\pm)-18, (\pm)-19) im HPLC (*Fig. 3*) wurde die Synthese der Diepoxycarotinoide mit (+)-1 (optische Reinheit 96%) wiederholt. In der Kondensation des C₁₀-Dials mit den Epoxiden (+)-*cis/trans*-14 entstanden die Carotinoide (6R, 6'R)-18, (6R, 6'R)-19 und (6R, 6'R)-20. Damit war bewiesen, dass das Carotinoid mit *cis/cis*-Endgruppen entsprechend Pik 1 und dasjenige mit *trans/trans*-Endgruppen entsprechend Pik 2 im HPLC jeweils der *meso*-Form entspricht. Eine zusätzliche Sicherung der Befunde folgte aus der Tatsache, dass in der Reaktion des mittels HPLC abgetrennten (+)-*cis*-14 und (+)-*trans*-14 mit dem C₁₀-Dial nur das Caroti-





- ① (EtO)₂POCH₂COOEt/THF/NaH/RT.
- ② LiAlH₄/Et₂O/RT.
- Säulenchromatographie (Silicagel) mit Hexan/Et₂O/3:2.
- ⑤ (EtO)₃P/100°.
- ⑥ m-Chlorperbenzoesäure/CHCl₃/0°.
- D HPLC-Trennung.

- ® C₁₀-Dial (2,7-Dimethylocta-2,4,6-trien-dial)/THF/t-BuOK/0°→RT.
- Präp. HPLC Zorbax Sil 21,2
 × 250 mm, Hexan/MeOH 98,5:1,5.
- ® C_{10} -Dial/1,2-Epoxybutan/ $\Delta T \rightarrow 12'$ -Apo- ϵ -carotin-12'-al; (+)cis-14/THF/t-BuOK/0° \rightarrow RT.

noid (6R, 6'R)-18 (entsprechend Pik 4) bzw. (6R, 6'R)-19 (entsprechend Pik 5) gebildet wurde. Damit war eine völlige Klärung der Konfigurationen der 6 möglichen Diepoxy-tetrahydro- ε , ε -carotine erreicht. Die UV/VIS-Daten und Schmp. der neuen Carotinoide sind in Tab. 4 zusammengestellt; weitere Daten im Exper. Teil.

Die charakteristischen chemischen Verschiebungen in den ¹H-NMR-Spektren der Epoxyionone (s. *Kap.*2) zeigen sich auch bei den davon abgeleiteten Epoxyphosphonaten *cis*- und *trans*-14. Somit sind die an den Carotinoiden aufgrund der ¹H-NMR-Spektren getroffenen sterischen Zuordnungen breit abgestützt. Zur Ab-

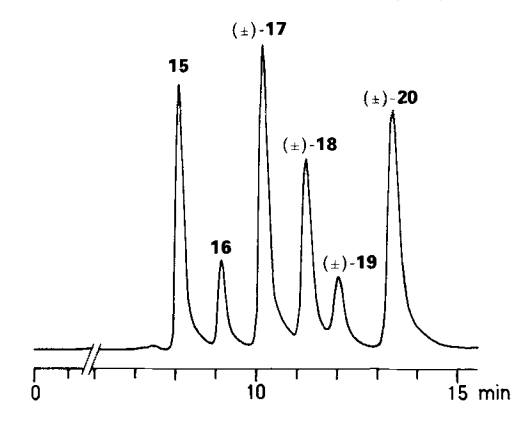


Fig. 3. HPLC-Trennung der stereoisomeren (all-E)-Diepoxy-tetrahydro-ε,ε-Carotine

Tab. 4. Schmp. und UV/VIS-Daten der Diepoxy-, Monoepoxy- und Tetrahydroxy-carotinoide 15-22

	Schmp.	UV/VIS (Hexan)
15	177,2-178,2° (CH ₂ Cl ₂ /Hexan)	262 (28 600), 390 (sh, 37 900), 411 (76 800),
		434 (120 000), 464 (121 500)
16	196,5-198° (CH ₂ Cl ₂ /Hexan)	262 (25100), 390 (sh, 32800), 411 (64900),
		434 (100 700), 464 (101 700)
(±)-17	189,8-190,8° (CH ₂ Cl ₂ /Hexan)	262 (36 500), 390 (sh, 48 000), 411 (96 200),
		434 (149 200), 464 (150 400)
(±)-18	154,5–159° (CH ₂ Cl ₂ /Hexan)	262 (25 400), 390 (sh, 34 000), 411 (69 500),
		434 (108 500), 464 (110 400)
(6R, 6'R)-18	150-152° (Hexan)	262 (34 500), 390 (sh, 47 000), 411 (95 100),
		434 (141 200), 464 (149 800)
(6R, 6'R)-19	189,5-190,5° (CH ₂ Cl ₂ /Hexan)	262 (34900), 390 (sh, 45800), 411 (93100),
		434 (145 200), 464 (149 400)
(±)- 20	190,7-192,7° (CH ₂ Cl ₂ /Hexan)	262 (35 600), 390 (sh, 48 200), 411 (97 200),
		434 (151 700), 464 (153 300)
(6R, 6'R)-21	190,5–191,3° (Et ₂ O)	263 (34 300), 392 (sh, 48 700), 412 (98 200),
		463 (152 500), 465 (153 200)
(6R, 6'R)-22 (aus (6R, 6'R)-18)	207,5–208,5° (CH ₂ Cl ₂ /Hexan)	262 (38 300) ^a), 394 (sh, 43 300), 414 (84 700),
		438 (129 000), 467 (128 700)
(6R, 6'R)-22 (aus $(6R, 6'R)$ -19)	213,6–214,7° (CH ₂ Cl ₂ /Hexan)	$262 (0,23^{b}))^{a}$, 394 (sh, 0,34 ^b)), 414 (0,66 ^b)),
		438 (1,0 ^b)), 468 (0,99 ^b))
(\pm)-22 (totalsynthetisch)	211–218° (CH ₂ Cl ₂ /Hexan)	263 (34 500) ^a), 394 (sh, 44 700), 414 (87 600),
		438 (132 000), 467 (130 000)

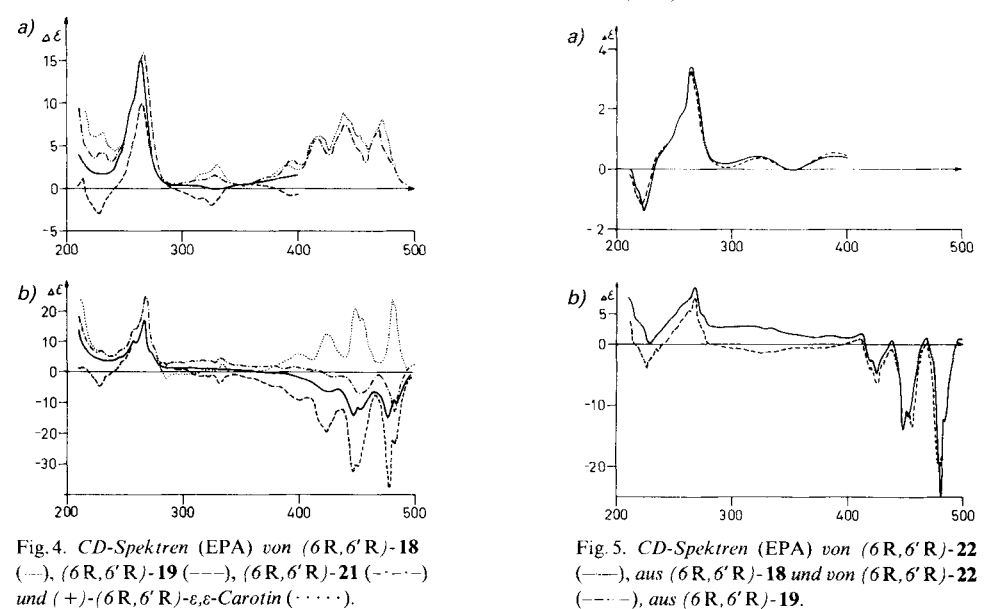
Gemessen in EtOH.

schätzung des Einflusses einer einzelnen 4,5-Epoxy-Gruppe auf die spektralen Eigenschaften wurde in bekannter Art und Weise auch noch das Carotinoid (6R, 6'R)-21 hergestellt (s. Schema 3).

5. Circulardichroismus der Carotinoide (6R, 6'R)-18-(6R, 6'R)-22. - CD-Spektren der oben erwähnten Carotinoide im Bereich von 220-500 nm bei RT. und bei -180° sind in den Fig. 4 und 5 abgebildet. Sie zeigen entsprechend der bisherigen Erfahrung⁹) den für

Rel. ε-Werte.

Frühere ORD-Korrelationen [22]; Zusammenstellung von CD-Messungen [23-26].



die (6R)- und (6R, 6'R)-Chiralität typischen positiven Verlauf der CD-Kurve im Bereich von 250–300 nm. Im Sichtbaren dagegen sind die Cotton-Effekte bei RT. wie oft auch in anderen Fällen schwach. Beim Abkühlen verstärken sie sich jedoch und zeigen dann, entgegen der bisherigen Erfahrung [23] [24], ein komplexes System von negativen Banden. Für eine empirische Deutung dieses neuartigen Verhaltens muss berücksichtigt werden, dass der bathochrome und hyperchrome Effekt der homoallylischen Doppelbindung im ε,ε -Carotin durch Epoxydierung reduziert ist (s. Fig. 6) und dass auch Änderungen in den Konformationsgleichgewichten eintreten müssen. Bei α -Ionon und Derivaten führt die Wechselwirkung der Ring-Doppelbindung mit dem Enon der Seitenkette, erkennbar im CD an der Exciton-Aufspaltung der K-Bande, zur Bevorzugung der M-Helix des Cyclo-

a) Bei RT.; b) bei −180°.

a) Bei RT.; b) bei 180°.

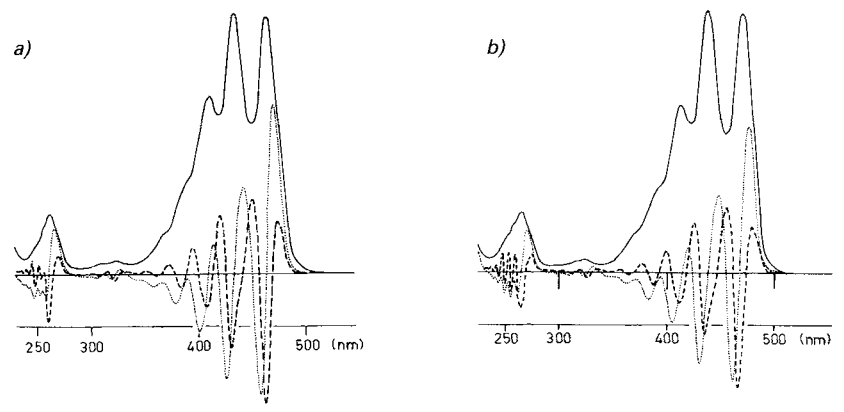


Fig. 6. UV/VIS-Spektrum von a) (\pm) -18 und b) (+)- ε , ε -Carotin in Hexan (---) sowie deren 1. (\cdots) und 2. Ableitung (----)

hexenrings mit ψ -axialer Seitenkette [27]. Das ist nun in (6R, 6'R)-18 wahrscheinlich nicht mehr der Fall und zwar aus folgenden Gründen: in (6R, 6'R)-22 (s. Kap.6, Schema 4) liegt ohne Zweifel die stabilste Konformation mit einer diaxialen Glycol-Gruppe und einer äquatorialen Polyen-Seitenkette vor (vgl. die durch die Röntgenstrukturanalyse bestimmten Konformationen von (\pm) -6 und (-)-8; Fig. 1 und 2). Da nun (6R, 6'R)-22 eine zu (6R, 6'R)-18 analoge Temperaturabhängigkeit der CD-Banden im VIS zeigt, d. h. analoge Verstärkung und Verlauf im Negativen, obwohl der hypsochrome Effekt der Epoxy-Gruppe weggefallen ist (vgl. Fig.6), schliessen wir, dass konformationelle Gründe für das Auftreten positiver oder negativer Cotton-Effekte im VIS mitverantwortlich sind. Daraus folgt wiederum, dass beim Kühlen eine Epoxycyclohexen-Konformation mit P-Helizität und ψ -äquatorialer Polyen-Kette bevorzugt wird. Wir postulieren demnach, dass ein Zusammenhang zwischen dem Vorzeichen der Cotton-Effekte im VIS und der Helizität des ε -Ringes besteht.

Falls diese Überlegungen zutreffen, kann folgendermassen verallgemeinert werden: (all-trans)-Carotine mit ε -Ringen zeigen im VIS dann positive Cotton-Effekte, wenn Cyclohexen-Konformationen mit M-Helizität (ψ -axiale Polyenkette) überwiegen. Negative Cotton-Effekte im VIS entsprechen demzufolge der bevorzugten P-helicalen Cyclohexen-Konformation (mit ψ -äquatorialer Polyen-Kette).

6. Verhalten der 4,5:4′,5′-Diepoxy-4,5,4′,5′-tetrahydro-ε.ε-carotine gegenüber Säuren. – Eine bekannte und sehr charakteristische Eigenschaft von 5,6-Epoxy-5,6-dihydrocarotinoiden ist ihre ganz ungewöhnlich leicht erfolgende Umlagerung in furanoide 5,8-Epoxide, deren Konfigurationen wir in den vergangenen Jahren zahlreiche Untersuchungen gewidmet haben. In verdünnter, wässeriger Säure wird die Umlagerung jedoch, wie neueste Ergebnisse deutlich gemacht haben (s. [28]), von einer Hydrolyse zu stereoisomeren Glycolen (5,6-Dihydro-5,6-dihydroxycarotinoiden) konkurrenziert. Über das Verhalten von 4,5-Epoxy-4,5-dihydrocarotinoiden ist bisher nichts bekannt.

Wir haben nun gefunden, dass 4.5:4',5'-Diepoxy-4.5.4',5'-tetrahydro- ϵ,ϵ -carotine unter sauren Bedingungen ungewöhnlich stabil sind: keine Hydrolyse wurde beobachtet mit AcOH/RT./2 h, mit AcOH/CF₃COOH/RT./18 h und mit 0,02N H₂SO₄/THF/15 min. Erst bei Verwendung von 0,1N H₂SO₄/THF 1:1/RT./25 h gelang es, in Reinausbeuten von 40-50% ein Glycol zu isolieren. Dabei entstand zu unserer Überraschung aus dem cis-Epoxycarotinoid (6R, 6'R)-18 und aus dem trans-Epoxycarotinoid (6R, 6'R)-19 dasselbe Tetrol (6R, 6'R)-22 (Schema 4). Daraus muss geschlossen werden, dass die Inversion einerseits an C(4) und anderseits an C(5) eingetreten ist. Welche der beiden Möglichkeiten auf welches Carotinoid zutrifft, konnte aus den Spektren (s. Exper. Teil) nicht mit Sicherheit entnommen werden. Eine Entscheidung liess sich jedoch treffen, als sich das aus (\pm) -6 auf einem neuen Weg (Schema 4) aufgebaute Tetrol (\pm) -22 mit (6R, 6'R)-22 in den skalaren Eigenschaften als identisch erwies. Daraus folgt, dass das cis-Epoxid (6R, 6'R)-18 unter Inversion an C(4) und das trans-Epoxid (6R, 6'R)-19 unter Inversion an C(5) hydrolysiert wurde. Neben der in Kap. 2 diskutierten diaxalen Öffnung der Epoxide bietet sich auch hier eine Interpretation an, die eine Nachbargruppenbeteiligung des Epoxid-O-Atoms und der protonierten Polyen-Kette annimmt (s. Schema 5, Partialformeln E und F¹⁰)). Aus sterischen Gründen ist diese Nachbargruppenbeteiligung nur

Die gewählte Protonierung führt formal zu einem nicht mesomerie-stabilisierten Carbokation. Nimmt man jedoch an, dass die Protonierung z. B. an C(7) erfolgt, so müsste als Zwischenprodukt ein Tetrahydrofuran-Derivat entstehen.

Schema 4

- Verlängerung mit C₂-Phosphonat/THF/NaH.
- @ Trimethyl silyl-chlorid/Hexamethyld is ilazan/Py.
- ③ DIBAH/Et₂O.
- MnO₂/AcOEt.
- ⑤ Wittig-Reaktion mit (EtO)₂POCH₂C(CH₃)=CH−C≡C−CH=C(CH₃)CH₂PO(OEt)₂.
- © Partielle Reduktion mit Lindlar-Katalysator/ H_2 und nachfolgende Isomerisation.
- ⑦ THF/Bu₄NF.
- ® THF/0,1N H₂SO₄ 1:1/RT./25 h.

bei den cis-Epoxiden und aus einer Konformation mit ψ -axialer Konformation möglich; bei den trans-Epoxiden muss sich das protonierte Epoxid unter Inversion am höher substituierten Zentrum, d. h. an C(5), öffnen.

Diese unerwarteten und in der Carotinoid-Reihe neuen Befunde zur Reaktion von 4,5-Epoxycarotinoiden mit Säuren machen neue Überlegungen zur säure-katalysierten Umlagerung von 5,6-Epoxycarotinoiden in 5,8-Epoxide notwendig (s. Schema 6, $29 \rightarrow 30$). Die Reaktion ist 1945 von Karrer und Mitarbeitern entdeckt worden und ist mechanistisch nicht geklärt (vgl. [29]). Auffallend ist die ausserordentliche Leichtigkeit, mit der diese Umlagerung stattfindet, was im Gegensatz steht zur Tetrasubstitution am Epoxid. Diese Leichtigkeit erstaunt umso mehr beim Vergleich mit dem hier beschriebenen Verhalten der trisubstitutierten 4,5-Epoxide. Auch die Selektivität des (C(6)-O)-Bindungsbruchs ist auffällig, welche nach allen bisherigen Untersuchungen dazu führt, dass die Konfiguration an C(5) erhalten bleibt [30].

Diese Befunde können auf zwei Arten erklärt werden. Die Protonierung von **29** erfolgt entweder zu **G** oder zu **I**. Das Zwischenprodukt **G** kann sich dann zum delokalisierten Kation **H** öffnen, aus dem durch Ringschluss und Deprotonierung die stereoisomeren furanoiden Epoxide **30** entstehen. Das Zwischenprodukt **I** hingegen reagiert unter Nachbargruppenbeteiligung mit dem delokalisierten Polyen-Kation und Bruch der (C(6)-O)-Bindung zu **K**, aus dem durch Verlust eines Protons die Isomeren **30** entstehen.

Die oben beschriebenen Resultate zur Reaktion von 4,5-Epoxycarotinoiden mit Säuren sprechen für eine Nachbargruppenbeteiligung von protonierter Seitenkette und Epoxid-O-Atom auch im Fall der Umlagerung der 5,6-Epoxide; d. h. die Reaktion wird von einer Protonierung der Polyen-Kette und nicht von der Protonierung des Epoxid-O-Atoms eingeleitet. Wir gedenken, bei späterer Gelegenheit auf diese experimentell noch nicht bewiesenen Vorstellungen zurückzukommen.

Anmerkung (20.2.1986): Soeben ist der erste Nachweis eines 4,5-Epoxycarotinoids in der Natur bekanntgeworden [31].

Wir danken dem Schweizerischen Nationalfonds zur Förderung der wissenschaftlichen Forschung für die finanzielle Unterstützung dieser Arbeit und den analytischen Abteilungen des Organisch-chemischen Instituts für Spektren und Mikroanalysen.

Experimenteller Teil

Allgemeines. Säulenchromatographie: Kieselgel 60 (Merck). HPLC: LiChrosorb Si-60-7, 4,6 × 250 mm, für (±)-7 Hexan/CHCl₃/MeOH 16:7:0,1, Fluss 1,6 ml/min, für (±)-cis/trans-14 bzw. (+)-cis/trans-14 Hexan/1,5% MeOH, Fluss 1,5 ml/min; Li Chrosorb Si-60, 21,2 × 250 mm, für (±)-7 Hexan/CHCl₃/MeOH 70:25:0,4, Fluss 15 ml/min; Zorbax-SiL, 21,2 × 250 mm, für (±)-cis/trans-14 bzw. (+)-cis/trans-14 Hexan/1,5% MeOH, Fluss 15 ml/min; Spherisorb CN-5, 4,6 × 250 mm, für 15–20 90% A (Hexan/0,1% Et(i-Pr)₂N) und 10% B (CH₂Cl₂/1% MeOH), Fluss 1,5 ml/min; Spherisorb CN-5, 21,2 × 250 mm, für 15–20 A/B 93:7, Fluss 12 ml/min; Pumpen:

Kontron LC-410, DuPont 830 Liquid Chromatograph, oder DuPont 850 mit DuPont-Programmiereinheit 850. Aufnahme der Chromatogramme und der UV/VIS-Spektren mit Hewlett-Packard-1040-A-Detektionsystem ('multi-array') mit Programmiereinheit HP-85. GC: Carlo Erba Fractovap SI mit Flammenionisationsdetektor und Spectra Physics SP-4100 Integrator; Glaskapillarkolonne nach Grob, Typ SE-52 (20 m × 0,25 mm). UV/VIS: Spektrometer Perkin-Elmer 552, CD: Spektropolarimeter JASCO J-500 A und Kryostat Oxford-Instruments DN-704, Auswertung auf einem Epson-QX-10-Computer; EPA = Et₂O/Isopentan/EtOH 5:5:2. Eichung [32a-c] mit Epi-androsteron: 304 nm (+ 3,29; [32b]: +3,30); (-)-Pantolacton (= (-)-D-2-Hydroxy-3,3-dimethyl-y-buty-rolacton): 220 nm (-5,07; [32b]: -4,90); Tris(ethylendiamin)cobalt(III)-iodid^[11]: 491 nm (+1,16; [32c]: +1,8) für den (+)-Komplex, 491 nm (-1,12; [32c]: -1,8) für den (-)-Komplex IR: Spektrometer Perkin-Elmer 297. NMR: Varian FT-80A (80 MHz), Varian EM-360 (90 MHz), Varian XT-200 (200 MHz) oder Bruker-Spectrospin WM-400-FT mit Aspect-2000-Computer.

1. Glycole (+)-6 und (-)-6. 1.1. (±)-4-(2,3-Epoxy-2,6,6-trimethylcyclohex-1-yl)but-3-en-2-on (±)-4/(±)-5 = (±)-2; (±)-4,5-Epoxy-4,5-dihydro- α -ionon) und Ester (±)-3. Die Lsg. von 550 mg (3,2 mmol) m-Chlorperbenzoesäure in 4 ml CHCl₃ wurde bei 0° unter N₂ tropfenweise mit 500 mg (2,6 mmol) (±)- α -lonon ((±)-1) versetzt und dann bei RT. 12 h gerührt. Zur Aufarbeitung wurde mehrmals mit ges. NaHCO₃-Lsg. und H₂O gewaschen, über Na₂SO₄ getrocknet und eingeengt. Destillation im Kugelrohr bei 80°/0,05 Torr ergab 480 mg (89 %) farbloses Öl, das laut GC (110°, 1 atm) ein Gemisch von ca. 84% (±)-4, 14% (±)-5 und 2% (±)-3 [16] darstellte. UV/VIS (EtOH): 223 (13100). IR (Film): 3000m, 2960s, 2930s, 2870m, 1760m, 1690m, 1670s, 1620m, 1450m, 1390w, 1380m, 1365m, 1305w, 1260s, 1230m, 1180m, 1140w, 1118w, 1090w, 1045w, 990m, 965w, 903w, 885w, 865w, 790w, 755s, 705w, 660w. MS: 208 (2, M^+), 193 (2), 179 (6), 165 (8), 151 (7), 147 (6), 109 (34), 95 (23), 43 (100).

1.2. (+)-(l'R,2'R,3'S)-4-(2',3'-Epoxy-2',6',6'-trimethylcyclohex-l'-yl)but-3-en-2-on ((+)-4) und (+)-4(1'R,2'S,3'R)-4-(2',3'-Epoxy-2',6',6'-trimethylcyclohex-1'-yl)but-3-en-2-on ((+)-5). Aus 1,8 g (9,37 mmol) (+)-(R)- α -Ionon ((+)-(R)-1; $[\alpha]_D^{20} = +428^\circ$ (c = 0.90, EtOH; opt. rein)) und 1.8 g (10.4 mmol) m-Chlorperbenzoesäure wurden analog 1.1 1,5 g (77%) Öl erhalten: $[\alpha]_D = 190^\circ$ (c = 1,21, EtOH). GC (110°/l atm): 80% (+)-4, 11,5% (+)-5, 2% (+)-3 und 6,5% (+)-1. Von diesem Öl wurden 300 mg an 100 g Kieselgel (40-60 mesh) auf einer Stufensäule (4stufig sich nach unten verjüngend (Ø 22, 14, 10 bzw. 6 mm), 300 mm Länge pro Segment) mit Hexan/AcOEt 4:1 aufgetrennt: 170 mg (57%) (+)-4 (GC: 100% rein), 14 mg (4,6%) (+)-5 (GC: 100% rein) und verschiedene Mischfraktionen. (+)-4: $[\alpha]_D^{20} = 210^\circ$ (c = 0,95, EtOH). UV/VIS (EtOH): 223 (13100). CD (RT., EtOH)¹²): 222 (+9,55), 290 (0). CD (-180°, EPA): 206 (0), 222 (+15,7), 252 (0). IR (Film): 3040w, 2960w, 2920s, 2860m, 1698m, 1675s, 1620m, 1450m, 1435m, 1380m, 1365m, 1305w, 1250s, 1210w, 1180m, 1145w, 1120w, 1095w, 1060w, 1045w, 990m, 960w, 900m, 885m, 860m, 790m, 740w, 705m, 650m. $^{1}H-NMR$ (200 MHz, CDCl₃) 13): 0,755, $0.993 (2s, 2 \text{ CH}_3-\text{C}(1)); 1.0-1.1 (m, \text{H}_{eo}-\text{C}(2)); 1.259 (s, \text{CH}_3-\text{C}(5)); 1.425 (ddd, J = 6, 10, 14, \text{H}_{ax}-\text{C}(2));$ 1.80-2.05 (m, CH₂(3)); 2.088 (d, J = 10, H–C(6)); 2.304 (s, CH₃-C(9)); 3.105 (br. s, H–C(4)); 6.095 (d, J = 16, H-C(8); 6,726 (dd, J=10, 16, H-C(7)). ¹³C-NMR (20 MHz, CDCl₃)¹³): 23,69 (t, C(3)); 25,98 (q, CH₃-C(9)); $28,38 (q, CH_3-C(5)); 29,42, 29,88 (je q, 2 CH_3-C(1)); 30,47 (t, C(2)); 33,17 (s, C(1)); 54,42 (d, C(6)); 60,73 (s, C(1)); 60,73 (s, C(1));$ C(5); 61,41 (d, C(4)); 135,99 (d, C(8)); 148,28 (d, C(7)); 200,66 (s, C(8)). Anal. ber. für $C_{13}H_{20}O_2$ (208,31): C 74,95, H 9,42; gef.: C 73,89, H 9,44.

(+)-5: $[\alpha]_D^{20} = +23,0^\circ$ (c = 1,02, EtOH). UV/VIS (EtOH): 225 (13000). CD (RT., EtOH)¹²), 222 (+1,84), 290 (0), 350 (+0,48). CD (-180°, EPA): 212 (0), 221 (+3,8), 241 (0), 264 (-0,3), 298 (0), 320 (+0,2), 340 (0). ¹H-NMR (200 MHz, CDCl₃)¹³): 0,805, 0,864 (2s, 2 CH₃-C(1)); 1,0-1,2, 1,25-1,5 (2m, CH₂(2)); 1,201 (s, CH₃-C(5)); 1,8-2,1 (m, CH₂(3)); 2,288 (s, CH₃-C(9)); 2,335 (d, J = 12, H-C(6)); 3,012 (br. s, H-C(4)); 6,155 (d, J = 16, H-C(8)); 6,672 (dd, J = 12, 16, H-C(7)). ¹³C-NMR (20 MHz, CDCl₃)¹³): 23,39 (q und t, C(3), CH₃-C(5)); 25,39 (q, CH₃-C(9)); 29,60, 31,40 (2q, 2 CH₃-C(1)); 33,63 (s, C(1)); 34,44 (t, C(2)); 55,99 (d, C(6)); 59,71 (s, C(5)); 61,68 (d, C(4)); 136,03 (d, C(8)); 147,04 (d, C(7)); 199,54 (s, C(9)).

1.3. (+)-(1'R,2'R,3'R)-4-(2',3'-Dihydroxy-2',6',6'-trimethylcyclohex-1'-yl)but-3-en-2-on ((+)-6) aus (+)-4. Die Lsg. von 50 mg (0,24 mmol) (+)-4 ([α] $_D^{20}$ = +210°, opt. rein) in 3 ml THF wurde bei 0° tropfenweise mit 0,2 ml 20% wässr. H₂SO₄ versetzt. Nach 15 min Rühren bei RT. wurde mit Et₂O verdünnt, mit ges. NaHCO₃-Lsg. und H₂O gewaschen, über MgSO₄ getrocknet und eingeengt. Zweimalige Umkristallisation des so erhaltenen gelblichen Öls aus CHCl₃/Petrolether ergab 35,5 mg (65,41%) kristallines (+)-6. Schmp. 156,1–156,5°. [α] $_D^{20}$ = +7,12° (c = 0,379, EtOH). UV/VIS (EtOH): 270 (4100), 231 (14600). UV/VIS (CHCl₃): 241 (7800). CD (RT., EtOH): 218

¹¹) Für die Überlassung verschiedener Eichsubstanzen danken wir Herrn Dr. K. Noack, F. Hoffmann-La Roche & Co. AG, Basel.

¹²⁾ Gemessen an einer optisch angereicherten Probe, 68 % opt. rein.

¹³⁾ Für die Zuordnungen wurde die Carotinoid-Numerierung verwendet.

- (0), 238 (+4,0), 272 (0), 316 (-0,5). IR (KBr) 3600*m*, 3450 (br.), 2980*m*, 2920*s*, 2880*m*, 1680*m*, 1670*s*, 1620*m*, 1450*m*, 1360*s*, 1255*s*, 1090*m*, 1065*m*, 995*m*, 985*m*, 972*w*, 955*m*, 903*m*, 860*w*, 840*w*. ¹H-NMR (80 MHz, CDCl₃)¹³): 0,83, 1,07 (2*s*, 2 CH₃-C(1)); 1,15 (*s*, CH₃-C(5)); 1,15-1,3, 1,5-1,7, 2,1-2,3 (3*m*, CH₂(2), CH₂(3)); 2,13 (*d*, *J* = 11, H-C(6)); 2,30 (*s*, CH₃-C(9)); 3,57 (*t*, *J* = 2, H-C(4)); 6,10 (*d*, *J* = 16, H-C(8)); 6,97 (*dd*, *J* = 11, 16, H-C(7)). ¹³C-NMR (20 MHz, CD₃OD)¹³): 22,72 (*q*, CH₃-C(5)); 26,00 (*t*, C(3)); 26,62, 28,00 (2*q*, 2 CH₃-C(1)); 32,90 (*q*, CH₃-C(9)); 34,83 (*s*, C(1)); 34,96 (*t*, C(2)); 54,76 (*d*, C(6)); 74,0 (*s*, C(5)); 74,81 (*d*, C(4)); 135,49 (*d*, C(8)); 150,20 (*d*, C(7)); 201,0 (*s*, C(9)). MS: 208 (1, $M^{\frac{1}{2}}$ 18), 193 (2), 183 (12), 165 (8), 147 (4), 125 (28), 107 (21), 43 (100). Anal. ber. für C₁₃H₂₂O₃: C 68,96, H 9,80; gef.: C 68,94, H 9,96.
- 1.4. (+)-6 aus (+)-5. Die Hydrolyse von 20 mg (0,09 mmol) (+)-5 analog 1.3 ergab nach Chromatographie an Kieselgel (60-230 mesh) 3,4 mg (15%) farbloses Öl. Umkristallisation aus CHCl₃/Petrolether lieferte 0,5 mg (2,3%) kristallines (+)-6. UV/VIS (EtOH, qualitativ): 241. CD (RT., EtOH)¹⁴): 216 (0), 238 (5,1), 276 (0), 316 (-0,5). Übrige spektroskopische Daten s. 1.3.
- 1.5. (+) -6 und (-) -6 via die diastereoisomeren Camphansäure-[2-hydroxy-2,4,4-trimethyl-3-(3-oxobut-1-enyl)cyclohexyl]ester (+)-7 und (-)-7. Die Lsg. von 1 g (4,4 mmol) (\pm)-6 (hergestellt aus (\pm)-4 analog 1.3; spektroskopische Daten identisch mit denjenigen von (+)-6) in 30 ml Pyridin wurde bei 0° unter N₂ mit 950 mg (-)-Camphanoyl-chlorid versetzt und 1 h bei 0° weitergerührt. Dann wurde mit Et₂O verdünnt, mehrmals mit H₂O und ges. CuSO₄-Lsg. gewaschen, über MgSO₄ getrocknet und eingeengt. Nach Umkristallisation aus Et₂O/Hexan 2:1 wurden 1,8 g (98%) Kristalle erhalten. Präp. HPLC von 800 mg dieses Gemisches ergab 310 mg (+)-7 und 310 mg (-)-7. (+)-7: Schmp. 155,5° (Et₂O/Hexan). [α]_D²⁰ = +60,7° (c = 0,604, EtOH). UV/VIS (EtOH): 271 (2300), 227 (19200). CD (RT., EtOH): 208 (-1,8), 222 (0), 232 (+1,5), 264 (0). (-)-7: Schmp. 151,8° (Et₂O/Hexan). [α]_D²⁰ = -47,1° (c = 0,584, EtOH). UV/VIS (EtOH): 271 (2400), 227 (15100). CD (EtOH): 204 (+2,2), 212 (0), 230 (-3,5), 274 (0).
- (+)-6 aus (+)-7. Die Lsg. von 310 mg (0,8 mmol) (+)-7 in 5 ml MeOH wurde bei 0° unter N_2 mit 45,2 mg (0,80 mmol) feingepulvertem KOH versetzt und bei RT. 15 h gerührt. Zur Aufarbeitung wurde mit Et₂O verdünnt, mehrmals mit H₂O und ges. NaCl-Lsg. gewaschen, über MgSO₄ getrocknet und eingeengt. Umkristallisation aus Et₂O/Petrolether 2:1 ergab 64,5 mg (36%) kristallines (+)-6. Schmp. 156,2-157,8°. [α] $_D^{20}$ = +7,3° (c = 0,844, EtOH). UV/VIS (EtOH): 231 (14500), 271 (4200). CD (RT., EtOH): 218 (0), 235 (+3,6), 280 (0), 315 (-0,2), 345 (0). Übrige Spektraldaten mit denjenigen in 1.3 übereinstimmend.

Analog dazu wurden aus 310 mg (0,8 mmol) (-)-7 81,3 mg (45%) kristallines (-)-6 erhalten. Schmp. $157,0-157,5^{\circ}$. [α] $_{0}^{20} = -7,2^{\circ}$ (c = 0,654, EtOH). UV/VIS (EtOH): 271 (4100), 231 (14600). CD (RT., EtOH): 218 (0), 235 (-3,5), 280 (0), 315 (+0,2), 345 (0). Übrige Spektraldaten mit denjenigen von (+)-6 übereinstimmend.

- 2. Epoxyphosphonate 14. 2.1. (\pm) -(2E/2Z)-3-Methyl-5-(2,6,6-trimethylcyclohex-2-en-1-yl)penta-2,4-dien-säure-ethylester $((\pm)$ -10). Aus 4,66 g (24,2 mmol) (\pm) -1 wurden mit (Diethoxyphosphoryl)essigsäure-ethylester nach bekannter Methode [21a] 5,9 g (\pm) -10 hergestellt.
- 2.2. (\pm) -(2E)-3-Methyl-5-(2,6,6-trimethylcyclohex-2-en-1-yl)penta-2,4-dien-1-ol ((\pm)-11). Aus 2 g (7,6 mmol) (\pm)-10 wurde durch Reduktion mit LiAlH₄ nach [33] das Pentadienol als (E/Z)-Gemisch hergestellt, das durch Chromatographie an Kieselgel (240-400 mesh) mit Hexan/Et₂O 3:2 getrennt wurde: 440 mg (13%) (2Z)-Isomeres, 515 mg (15%) (E/Z)-Gemisch und 2,40 g (70%) (2E)-Isomeres (\pm)-11.
- 2.3. (\pm) - $\int 3$ -Methyl-5-(2,6,6-trimethylcyclohex-2-en-1-yl)penta-2,4-dien-1-yl]phosphonsäure-diethylester ((\pm)-13). Die Lsg. von 1,035 g (4,7 mmol) (\pm)-11 in 60 ml Et₂O wurde bei 0° unter N₂ tropfenweise mit 0,3 ml (3 mmol) PBr₃ in 5 ml Et₂O versetzt und 30 min bei 0° gerührt. Das Gemisch wurde daraufhin vorsichtig mit 10 ml eiskalter ges. NaHCO₃-Lsg. versetzt, mehrmals mit halbges. NaCl-Lsg. gewaschen, über MgSO₄ getrocknet und eingeengt. Das so erhaltene Bromid (\pm)-12 (2E) wurde ohne weitere Reinigung zusammen mit 783 mg (4,7 mmol) Triethylphosphit im Kugelrohr 1 h auf 100° erhitzt. Anschliessende Destillation bei $160^{\circ}/10^{-2}$ Torr ergab 1,22 g (76%) (\pm)-13. 1 H-NMR (90 MHz, CDCl₃)¹³): 0,80, 0,90 (2s, 2 CH₃-C(1)); 1,30 (t, J = 6, CH₃CH₂O); 1,57 (s, CH₃-C(5)); 1,76 (d, ^{5}J (P, H) = 3, CH₃-C(9)); 2,68 (dd, ^{3}J (C, H) = 8, ^{2}J (P, H) = 24, CH₂(11)); 4,08 (qd, ^{3}J (C, H) = ^{3}J (P, H) = 6, CH₃CH₂O); 5,3-5,6 (m, H-C(7), H-C(10)); 6,08 (d, J = 15, H-C(8)).
- 2.4. (±)-cis/trans-[5-(3,4-Epoxy-3,4-dihydro-2,6,6-trimethylcyclohex-2-en-1-yl)-3-methylpenta-2,4-dien-1-yl]-phosphonsäure-diethylester ((±)-cis/trans-14). Die Lsg. von 1,22 g (3,57 mmol) (±)-13 in 11 ml CHCl₃ wurde bei 0° unter Ar tropfenweise mit einer Lsg. von 920 mg (4,54 mmol) m-Chlorperbenzoesäure in 7,5 ml CHCl₃ versetzt und 4 h bei 0° gerührt. Danach wurde mit 5 ml ges. NaHCO₃-Lsg. versetzt und 30 min bei RT. weitergerührt. Zur Aufarbeitung wurde mit Et₂O verdünnt, mehrere Male mit ges. NaHCO₃-Lsg., H₂O und ges. NaCl-Lsg. gewaschen, über MgSO₄ getrocknet und eingeengt. Chromatographie des so erhaltenen Öls an Kieselgel (70–230 mesh)

¹⁴) $\Delta \varepsilon$ -Werte berechnet aufgrund von Konzentrationsbestimmungen mit UV.

- mit Et₂O/MeOH 9:1 ergab 1,13 g (89%) Gemisch von (\pm)-*cis*-14, (\pm)-*trans*-14 und einem nicht weiter untersuchten Nebenprodukt. Präp. HPLC eines Teils dieses Gemisches ergab neben 211 mg Nebenprodukt 212 mg (\pm)-*cis*-14 und 70 mg (\pm)-*trans*-14. (\pm)-*cis*-14: ¹H-NMR (200 MHz, CDCl₃)¹³): 0,720, 0,889 (2s, 2 CH₃-C(1)); 1,243 (s, CH₃-C(5)); 1,316 (t, J=7, CH₃CH₂O); 1,1-1,5 (m, CH₂(2)); 1,816 (d, ⁵J(P, H) = 3, CH₃-C(9)); 1,936 (d, J=10, H-C(6)); 2,709 (dd, ³J(C, H) = 8, ²J(P, H) = 23, CH₂(11)); 3,066 (t, J=2, H-C(4)); 4,104 (*qd*, ³J(C, H) = ³J(P, H) = 7, CH₃CH₂O); 5,435 (td, ³J(C, H) = ³J(P, H) = 8, H-C(10)); 5,612 (*ddd*, J=2, 10, 15, H-C(7)); 6,140 (d, J=15, H-C(8)).
- (±)-trans-14: ¹H-NMR (200 MHz, CDCl₃)¹³): 0,784, 0,808 (2s, 2 CH₃-C(1)); 1,177 (s, CH₃-C(5)); 1,319 (t, J = 7, CH₃CH₂O); 1,811 (br. d, ⁵J(P, H) = 4, CH₃-C(9)); 1,85-2,1 (m, CH₂(3)); 2,215 (d, J = 11, H-C(6)); 2,715 (dd, ³J(C, H) = 8, ²J(P, H) = 23, CH₂(11)); 2,987 (br. s, H-C(4)); 4,106 (gd, ³J(C, H) = ³J(P, H) = 7, CH₃CH₂O); 5,3-5,6 (m, H-C(7), H-C(10)); 6,119 (d, J = 15, H-C(8)).
- 2.5. (+)-cis/trans-14. Aus 3,875 g (20,15 mmol) (+)-1 ($[\alpha]_D^{20} = 404^\circ$ (c = 0,686, EtOH), 96% opt. rein, hergestellt nach [8]) wurden analog 2.1 bis 2.4 2,72 g (38% bzgl. (+)-1) (+)-cis/trans-14 erhalten, von dem ein Teil analog 2.4 durch präp. HPLC aufgetrennt wurde: 562 mg (+)-cis-14 und 241 mg (+)-trans-14. (+)-cis-14: $[\alpha]_D^{20} = +126,3^\circ$ (c = 1,026, EtOH). 1 H-NMR: identisch mit demjenigen von (±)-cis-14, s. 2.4.
 - (+)-trans-14: $[\alpha]_D^{20} = +24.6^{\circ}$ (c = 0.882, EtOH). H-NMR: identisch mit demjenigen von (±)-trans-14.
- 3. Epoxy-carotinoide 15–21. 3.1. Stereoisomerengemisch der 4,5:4',5'-Diepoxy-4,5,4',5'-tetrahydro-ɛ,ɛ-carotine 15/16/(±)-17/(±)-18/(±)-19/(±)-20 aus (±)-cis/trans-14. Die Lsg. von 196 mg (0,55 mmol) (±)-cis/trans-14 und 30 mg (0,183 mmol) C_{10} -Dial¹⁵) in 8 ml THF wurde bei 0° unter Ar tropfenweise mit 1,1 ml 0,5M K(t-BuO)-Lsg. versetzt und 1 h bei 0° sowie 1,5 h bei RT. gerührt. Zur Aufarbeitung wurde auf halbges. NaCl-Lsg. gegossen und 3mal mit E_{12} O extrahiert. Die vereinigten E_{12} O-Phasen wurden 3mal mit E_{12} O und 1mal mit ges. NaCl-Lsg. gewaschen, über MgSO₄ getrocknet und eingeengt. Säulenchromatographie an Kieselgel (70–230 mesh, desaktiviert mit 10% E_{12} O mit Hexan/ E_{12} O 3:2 und anschliessende Kristallisation der roten Hauptfraktion aus Hexan ergab 20 mg (19,2%) rote, einheitliche Kristalle, die laut anal. HPLC (E_{12}) ein Gemisch der 6 Stereoisomeren 15, 16, (±)-17, (±)-18, (±)-19 und (±)-20 darstellten. Schmp. 187–188° (Hexan). UV/VIS (Hexan; rel. ε -Werte): 408 (0,68), 432 (1,0), 462 (0,93). Durch präp. HPLC liessen sich 5 der 6 Stereoisomeren rein erhalten und umkristallisieren. 15 (1,0 mg): E_{12} H-NMR (400 MHz, CDCl₃): 0,747, 0,907 (2s, CH₃(16,16'), CH₃(17,17')); 0,976 (E_{12}) = 5,13, E_{12} 0 = 7,262 (s, CH₃(18,18')); 1,415 (E_{12} 1, E_{12} 1, E_{12} 2, E_{12} 3, E_{12} 3, E_{12} 4, E_{12} 4, E_{12} 5, E_{13} 5, E_{12} 6, E_{13} 6, E_{13} 7, E_{12} 7, E_{12} 8, E_{13} 8, E_{12} 8, E_{13} 9, E_{13} 9,
- **16** (0,5 mg): ¹H-NMR (400 MHz, CDCl₃): 0,804, 0,829 (2s, CH₃(16,16'), CH₃(17,17')); 1,131 (ddd, J = 2, 6, 13, H_{eq}-C(2,2')); 1,198 (s, CH₃(18,18')); 1,389 (ddd, J = 6, 13, 13, H_{ax}-C(2,2')); 1,8-2,0 (m, CH₂(3,3')); 1,953 (s, CH₃(19,19')); 1,982 (s, CH₃(20,20')); 2,266 (d, J = 10,5, H-C(6,6')); 3,00 (br. s, H-C(4,4')); 5,561 (dd, J = 10,5, 15, H-C(7,7')); 6,172 (d, J = 15, H-C(8,8')); 6,166 (d, J = 11, H-C(10,10')); 6,271 (br. d, J = 10, H-C(14,14')); 6,378 (d, J = 15, H-C(12,12')); 6,55-6,65 (m, H-C(11,11'), H-C(15,15')).
- (±)-17 (2,3 mg): 1 H-NMR (400 MHz, CDCl₃): 0,746, 0,805, 0,829, 0,906 (4s, CH₃(16), CH₃(16'), CH₃(17), CH₃(17')); 0,976 (td, J = 5,14, $H_{eq} C(2)$); 1,130 (ddd, J = 2,5, 13, $H_{eq} C(2')$); 1,198 (s, CH₃(18')); 1,260 (s, CH₃(18)); 1,31–1,42 (m, $H_{ax} C(2')$), $H_{ax} C(2')$); 1,8–2,0 (m, CH₂(3), CH₂(3')); 1,951 (s, CH₃(19')); 1,966 (s, CH₃(19)); 1,979 (s, CH₃(20), CH₃(20')); 1,989 (d, J = 10, H-C(6)); 2,266 (d, J = 11, H-C(6')); 2,998 (br. s, H-C(4')); 3,076 (dd, J = 1,5, 2, H-C(4)); 5,559 (dd, J = 11, 15, H-C(7')); 5,714 (dd, J = 10, 16, H-C(7)); 6,145 (d, J = 11, H-C(10)); 6,166 (d, J = 8, H-C(10')); 6,173 (d, J = 15, H-C(8')); 6,193 (d, J = 16, H-C(8)); 6,257 (d, J = 10, H-C(14)); 6,271 (d, J = 11, H-C(14')); 6,356 (d, J = 15, H-C(12)); 6,379 (d, J = 15, H-C(12')); 6,55–6,65 (m, H-C(11), H-C(11'), H-C(15), H-C(15')).
 - (±)-18 (1,1 mg): ¹H-NMR: identisch mit demjenigen von 15.
 - (±)-20 (1,5 mg): ¹H-NMR: identisch mit demjenigen von 16.
- 3.2. 15 und (\pm)-18 aus (\pm)-cis-14. Aus 206 mg (0,578 mmol) (\pm)-cis-14 und 32 mg (0,195 mmol) C_{10} -Dial wurden analog 3.1 nach Kristallisation aus Hexan/Et₂O 13,2 mg (12%) Kristalle erhalten, die, laut anal. HPLC und Cochromatographie mit dem Gemisch aus 3.1, ein Gemisch 15/(\pm)-18 darstellten. Schmp. 154,5-155,3° (Hexan/Et₂O). UV/VIS und 1 H-NMR: identisch mit denjenigen von 15 bzw. (\pm)-18.
- 3.3. 16 und (\pm)-19 aus (\pm)-trans-14. Aus 70 mg (0,196 mmol) (\pm)-trans-14 und 11 mg (0,067 mmol) C_{10} -Dial wurden analog 3.1 nach Kristallisation aus CH₂Cl₂/Hexan 3,0 mg (7,9%) Kristalle erhalten, die, laut anal. HPLC

¹⁵⁾ C₁₀-Dial (= 2,7-Dimethyl-2,4,6-octatetraen-1,8-dial) wurde uns freundlicherweise von der Firma F. Hoffmann-La Roche & Co. AG, Basel, in grösseren Mengen überlassen.

und Cochromatographie mit dem Gemisch aus 3.1, ein Gemisch 16/(±)-19 darstellten. Schmp. 210,4–211,3° (CH₂Cl₂/Hexan). UV/VIS und ¹H-NMR: identisch mit denjenigen von 16.

- 3.4. $(6\,\text{R},6'\,\text{R})$ -18, $(6\,\text{R},6'\,\text{R})$ -19 und $(6\,\text{R},6'\,\text{R})$ -20 aus (+)-cis/trans-14. Aus 116 mg (0,46 mmol) (+)-cis/trans-14 und 20 mg (0,122 mmol) C_{10} -Dial wurden analog 3.1 nach Kristallisation aus Hexan 14,5 mg (21%) Kristalle erhalten, die, laut anal. HPLC und Cochromatographie mit dem Gemisch aus 3.1, ein Gemisch (6R,6'R)-18/(6R,6'R)-19/(6R,6'R)-20 im Verhältnis von ca. 35:15:50 darstellte: Schmp. 176–183°. UV/VIS und ¹H-NMR: identisch mit denjenigen von (\pm) -18 bzw. (\pm) -20. CD (EPA, RT.): 230 (0), 264 (+13,59), 2,93 (0), 235 (-0,93), 336 (0). CD (EPA, -180°): 235 (+3,2), 257 (+10,18), 265 (+18,32), 272 (+7,45), 280 (+2,66), 330 (0), 382 (0), 399 (-4,35), 423 (-14,32), 436 (-9,62), 446 (-23,8), 452 (-23,98), 466 (-8,87), 478 (-29,77), 497 (-2,76), 554 (0).
- 3.5. (4S,4'S,5R,6'R,6'R,6'R)-4,5:4',5'-Diepoxy-4,5,4',5'-tetrahydro- ε , ε -carotin ((6R,6'R)-18) aus (+)-cis-14. Aus 135 mg (0,379 mmol) (+)-cis-14 und 17 mg (0,103 mmol) C_{10} -Dial wurden analog 3.1 nach Kristallisation aus Hexan 25,7 mg (43,7%) (6R,6'R)-18 erhalten. Schmp. und UV/VIS: s. Tab. 4. CD (EPA, RT.): 235 (+1,63), 264 (+15,08), 285 (+0,41), 320 (0). CD (EPA, -180°): 245 (+4,94), 257 (+10,34), 260 (+9,26), 266 (+17,28), 273 (+6,28), 280 (+1,52), 361 (0), 414 (-7,40), 434 (-5,33), 448 (-13,99), 453 (-11,78), 465 (-5,96), 476 (-15,04), 484 (-10,48), 505 (0). 1 H-NMR: identisch mit demjenigen von 15 bzw. (\pm)-18.
- 3.6. (4R,4'R,5S,5'S,6R,6'R)-4,5:4',5'-Diepoxy-4,5,4',5'-tetrahydro-e,e-carotin ((6R,6'R)-19) aus (+)-trans-14. Aus 130 mg (0,365 mmol) (+)-trans-14 und 16 mg (0,097 mmol) C_{10} -Dial wurden analog 3.1 nach Kristallisation aus Hexan/CH₂Cl₂ 8,09 mg (14,4%) (6R,6'R)-19 erhalten. Schmp. und UV/VIS: s. *Tab.4*. CD (EPA, RT.): 214 (0), 226 (-3,28), 240 (0), 264 (+10,12), 289 (0), 322 (-2,12), 338 (0), 358 (+0,49), 379 (0). CD (EPA, -180°): 220 (0), 227 (-4,82), 239 (0), 257 (+9,29), 266 (+19,11), 272 (+8,15), 278 (+2,38), 281 (+3,29), 309 (0), 316 (-1,33), 322 (-1,71), 326 (-1,03), 331 (-3,94), 344 (+0,06), 400 (-9,57), 410 (-7,93), 423 (-19,81), 436 (-11,74), 446 (-32,86), 451 (-30,94), 466 (-7,68), 478 (-37,41), 482 (-23,58), 501 (-1,17), 579 (0). ¹H-NMR: identisch mit demjenigen von 16.
- 3.7. $(4S,5R,6R,6'R)-4,5-Epoxy-4,5-dihydro-\varepsilon,\varepsilon-carotin$ ((6R,6'R)-21). Die Lsg. von 410 mg (0,75 mmol) [3-Methyl-5-(2,6,6-trimethylcyclohex-2-en-1-yl)penta-2,4-dien-1-yl]triphenylphosphonium-bromid aus (+)-(R)- α -Ionon ([α] $_0^2$ = 404°, 96% opt. rein) nach der bekannten Methode [33]) und 300 mg (1,83 mmol) C₁₀-Dial in 50 ml 1,2-Epoxybutan wurde 5 h rückflussiert, eingeengt und an Kieselgel (70-230 mesh, desaktiviert mit 10% H_2O) chromatographiert. Die Hälfte des so erhaltenen roten Lackes (= (6R)-12'-Apo- ε -carotin-12'-al) wurde mit 200 mg (0,561 mmol) (+)-cis-14 in 10 ml THF bei 0° unter Ar tropfenweise mit 1,1 ml 0,5M K(t-BuO)-Lsg. versetzt und 1 h bei 0° sowie 1 h bei RT. gerührt. Zur Aufarbeitung wurde mit Et₂O verdünnt, mehrmals mit halbges. NaCl-Lsg. gewaschen, über MgSO4 getrocknet und eingeengt. Nach Chromatographie an Kieselgel (70-230 mesh, desaktiviert mit 10 % H₂O) und Kristallisation aus Et₂O wurden 84 mg (41 % bzgl. Phosphoniumbromid) (6R,6'R)-21 erhalten. Schmp. und UV/VIS: Tab. 4. CD (EPA, RT.): 228 (+4,30), 238 (+2,92), 258 (+10,72), 265 (+15,71), 290 (+0,46), 326 (+1,55), 342 (+0,29), 392 (+3,13), 404 (+4,01), 409 (+5,58), 417 (+5,66), 422 (+3,69), 434 (+7,32), 439 (+7,63), 445 (+6,55), 458 (+3,08), 469 (+6,84), 474 (+4,89), 479 (+2,98), 491 (+0,11). $CD(EPA, -180^{\circ}): 229 (+7,06), 235 (+4,75), 249 (+7,53), 259 (+13,90), 268 (+25,33), 282 (+1,72), 332 (+4,50), 364$ (+1,54), 421 (0), 445 (-3,78), 452 (-8,18), 455 (-8,47), 460 (-5,95), 469 (-0,48), 478 (-6,66), 481 (-13,51), 484 (-9,13), 492 (0), 502 (+2,89). ¹H-NMR (400 MHz, CDCl₃)¹⁶): 0,744, 0,905 (2s, CH₃(16), CH₃(17)); 0,831, 0,913 $(2s, CH_3(16'), CH_3(17')); 0,974 (td, J = 5, 14, H_{eq} - C(2)); 1,193 (td, J = 5, 13, H_{eq} - C(2')); 1,260 (s, CH_3(18)); 1,411 (td, J = 5, 14, H_{eq} - C(2')); 1,260 (s, CH_3(18)); 1,411 (td, J = 5, 14, H_{eq} - C(2')); 1,260 (s, CH_3(18)); 1,411 (td, J = 5, 14, H_{eq} - C(2')); 1,260 (s, CH_3(18)); 1,411 (td, J = 5, 14, H_{eq} - C(2')); 1,260 (s, CH_3(18)); 1,411 (td, J = 5, 14, H_{eq} - C(2')); 1,260 (s, CH_3(18)); 1,411 (td, J = 5, 14, H_{eq} - C(2')); 1,260 (s, CH_3(18)); 1,411 (td, J = 5, 14, H_{eq} - C(2')); 1,260 (s, CH_3(18)); 1,411 (td, J = 5, 14, H_{eq} - C(2')); 1,260 (s, CH_3(18)); 1,411 (td, J = 5, 14, H_{eq} - C(2')); 1,260 (s, CH_3(18)); 1,411 (td, J = 5, 14, H_{eq} - C(2')); 1,260 (s, CH_3(18)); 1,411 (td, J = 5, 14, H_{eq} - C(2')); 1,260 (s, CH_3(18)); 1,411 (td, J = 5, 14, H_{eq} - C(2')); 1,260 (s, CH_3(18)); 1,411 (td, J = 5, 14, H_{eq} - C(2')); 1,260 (s, CH_3(18)); 1,411 (td, J = 5, 14, H_{eq} - C(2')); 1,260 (s, CH_3(18)); 1,411 (td, J = 5, 14, H_{eq} - C(2')); 1,411 (td, J = 5, 14, H_{eq} - C(2')); 1,411 (td, J = 5, 14, H_{eq} - C(2')); 1,411 (td, J = 5, 14, H_{eq} - C(2')); 1,411 (td, J = 5, 14, H_{eq} - C(2')); 1,411 (td, J = 5, 14, H_{eq} - C(2')); 1,411 (td, J = 5, 14, H_{eq} - C(2')); 1,411 (td, J = 5, 14, H_{eq} - C(2')); 1,411 (td, J = 5, 14, H_{eq} - C(2')); 1,411 (td, J = 5, H_{eq} -$ $(ddd, J = 5, 10, 14, H_{ax} - C(2)); 1,462 (td, J = 8, 13, H_{ax} - C(2')); 1,594 (s, CH₃(18')); 1,81-2,10 (m, CH₂(3), 1,462 (td, J = 8, 13, H_{ax} - C(2')); 1,594 (s, CH₃(18')); 1,81-2,10 (m, CH₂(3), 1,462 (td, J = 8, 13, H_{ax} - C(2')); 1,594 (s, CH₃(18')); 1,81-2,10 (m, CH₂(3), 1,462 (td, J = 8, 13, H_{ax} - C(2')); 1,594 (s, CH₃(18')); 1,81-2,10 (m, CH₂(3), 1,462 (td, J = 8, 13, H_{ax} - C(2')); 1,594 (s, CH₃(18')); 1,81-2,10 (m, CH₂(3), 1,462 (td, J = 8, 13, H_{ax} - C(2')); 1,594 (s, CH₃(18')); 1,81-2,10 (m, CH₂(3), 1,462 (td, J = 8, 13, H_{ax} - C(2')); 1,594 (s, CH₃(18')); 1,81-2,10 (m, CH₂(3), 1,462 (td, J = 8, 13, H_{ax} - C(2')); 1,594 (s, CH₃(18')); 1,81-2,10 (m, CH₂(3), 1,462 (td, J = 8, 13, H_{ax} - C(2')); 1,81-2,10 (m, CH₂(3), 1,462 (td, J = 8, 13, H_{ax} - C(2')); 1,81-2,10 (m, CH₂(3), 1,462 (td, J = 8, 13, H_{ax} - C(2')); 1,81-2,10 (m, CH₂(3), 1,462 (td, J = 8, 13, H_{ax} - C(2')); 1,81-2,10 (m, CH₂(3), 1,462 (td, J = 8, 13, H_{ax} - C(2')); 1,81-2,10 (m, CH₂(3), 1,462 (td, J = 8, 13, H_{ax} - C(2')); 1,81-2,10 (m, CH₂(3), 1,462 (td, J = 8, 13, H_{ax} - C(2')); 1,81-2,10 (td, J = 8, 13, H_{ax} -$ $CH_2(3')$; 1,922 (s, $CH_3(19')$); 1,966 (s, $CH_3(19)$); 1,974 (s, $CH_3(20)$), $CH_3(20')$); 1,980 (d, J = 10, H - C(6)); 2,192 (d, H-C(7'); 6,120 (d, J=16, H-C(8')); 6,134 (d, J=12, H-C(10')); 6,144 (d, J=11, H-C(10)); 6,193 (d, J=16, H-C(8); 6,256 (br. d, J=10, H-C(14), H-C(14')); 6,353 (d, J=15, H-C(12))¹⁷); 6,355 (d, J=15, H-C(12')¹⁷); 6,55-6,70 (m, H-C(11), H-C(11'), H-C(15), H-C(15')).
- 4. $(4\,R,4'\,R,5\,R,5'\,R,6'\,R,-4,5,4',5'-Tetrahydro-ε,ε-carotin-4,5,4',5'-tetrol$ (6 R, 6' R-22). 4.1. Aus (6 R, 6 R')-18. Die Lsg. von 12,1 mg (0,021 mmol) (6 R, 6' R)-18 in 60 ml THF wurde unter Lichtausschluss und Ar bei 0° mit 60 ml THF 0,1 N H₂SO₄ versetzt und bei RT. 26 h gerührt. Zur Aufarbeitung wurde mit ges. NaHCO₃-Lsg. versetzt und 3mal mit CH₂Cl₂ extrahiert. Die vereinigten CH₂Cl₂-Phasen wurden mehrmals mit halbges. NaCl-Lsg. gewaschen, über MgSO₄ getrocknet und eingeengt. Präp. DC an SiO₂ mit Et₂O und Kristallisation aus CH₂Cl₂/Hexan ergaben 5,1 mg (40%) watteartige Kristalle von (6 R, 6' R)-22. Schmp. und UV/VIS: s. *Tab. 4*. CD (EPA, RT.): 224 (-1,42), 231 (0), 244 (+1,01), 259 (+2,09), 266 (+3,52), 289 (+0,02), 3,13 (+0,68), 346 (0). CD (EPA, -180°): 221 (+3,09), 228 (0), 232 (+2,41), 247 (+4,11), 258 (+5,97), 262 (+6,47), 266 (+7,93), 268 (+8,12),

¹⁶⁾ Zuordnung der Signale der ε-Hälfte nach [34].

¹⁷⁾ Zuordnung nicht gesichert.

- 273 (+4,41), 280 (+2,56), 328 (+2,09), 334 (+2,66), 396 (0), 412 (+2,10), 415 (0), 425 (-5,05), 439 (+0,74), 448 (-13,58), 451 (-10,21), 454 (-12,40), 455 (-10,06), 456 (-11,29), 468 (+1,50), 480 (-24,80), 484 (-13,49), 495 (+1,37), 510 (0), 554 (-4,53), 592 (0). 1 H-NMR (400 MHz, CDCl₃): 0,858, 1,035 (2s, CH₃(16,16'), CH₃(17,17')); 1,164 (s, OH); 1,182 (s, CH₃(18,18')); 1,290 (td, J = 14, 4, $H_{eq} C(2,2')$)¹⁷); 1,505 (d, J = 4, OH-C(4))¹⁷); 1,51-1,60 (m, $H_{eq} C(3,3')$)¹⁷)); 1,628 (td, J = 4, 14, $H_{ax} C(2,2')$)¹⁷)); 1,976 (s, CH₃(19,19'), CH₃(20,20')); 2,030 (d, J = 10, H-C(6,6')); 2,174 (tt, J = 4, 14, $H_{ax} C(3,3')$)¹⁷)); 3,602 (d, J = 3, H-C(4,4')); 5,806 (dd, J = 10, 16, H-C(7,7')); 6,168 (d, J = 16, H-C(8,8')); 6,260 (br. d, J = 10, H-C(14,14')); 6,367 (d, J = 15, H-C(12,12')); 6,57-6,67 (m, H-C(11,11'), H-C(15,15')).
- 4.2. Aus (6R,6'R)-19. Aus 4,0 mg (0,007 mmol) (6R,6'R)-19 wurden analog 4.1 2,5 mg (58%) (6R,6'R)-22 als Kristalle erhalten. Schmp und UV/VIS: Tab. 4. CD (EPA): sowohl bei RT. wie bei –180° gleicher Habitus wie derjenige von (6R,6'R)-22 aus 4.1, aber wie auch das UV/VIS durchschnittlich 1,5mal schwächer (s. Fig.5). ¹H-NMR: deckungsgleich mit demjenigen aus 4.1.
- 5. Totalsynthese von (\pm)-22 aus (\pm)-6.5.1. 5-(2-Hydroxy-2,6,6-trimethyl-3-[(trimethylsilyl)oxy]cyclohex-1-yl)-3-methylpenta-2,4-diensäure-ethylester ((\pm)-24). Aus 2,5 g (11,05 mmol) (\pm)-6 wurde mit (Diethoxyphosphoryl)essigsäure-ethylester nach bekannter Methode [21a] der 5-(2,3-Dihydroxy-2,6,6-trimethylcyclohex-1-yl)-3-methylpenta-2,4-diensäure-ethylester ((\pm)-23) hergestellt, der ohne weitere Reinigung in 60 ml Pyridin gelöst, mit 2 ml Hexamethyldisilazan und 1,5 ml Trimethylsilyl-chlorid versetzt und 15 min bei RT. stehengelassen wurde. Zur Aufarbeitung wurde in Et₂O gelöst und mehrmals mit ges. CuSO₄-Lsg., ges. NaHCO₃-Lsg. und H₂O gewaschen, über Na₂SO₄ getrocknet und eingeengt. Chromatographie an Kieselgel (70–230 mesh) mit Et₂O und Destillation im Kugelrohr bei 150°/10⁻² Torr ergaben 1,95 g (48% bzgl. (\pm)-6 (\pm)-24 als farbloses Öl. ¹H-NMR (90 MHz, CDCl₃)¹³)¹⁸): 0,1 (s, (CH₃)₃Si); 0,80, 1,00 (2s, 2 CH₃-C(1)); 1,00 (s, CH₃-C(5)); 1,27 (t, J = 7, CH_3 CH₂O); 2,27 (s, CH₃-C(9)); 3,34 (br. s, H-C(4)); 4,43 (q, J = 7, CH₃CH₂O); 5,93 (br. s, H-C(10)); 6,2-6,6 (m, H-C(7), H-C(8)).
- 5.2. (\pm) -5-(2-Hydroxy-2,6,6-trimethyl-3-[(trimethylsilyl)oxy]cyclohex-l-yl)penta-2,4-dien-l-al $((\pm)$ -26). Die Lsg. von 1,95 g (5,29 mmol) (\pm) -24 in 120 ml THF wurde bei 0° unter N₂ vorsichtig mit 3 ml (ca. 10 mmol) DIBAH versetzt und 30 min gerührt. Zur Aufarbeitung wurde auf eiskalte halbges. NaCl-Lsg. gegossen und mehrmals mit Et₂O extrahiert. Die vereinigten Et₂O-Phasen wurden nochmals mit H₂O und ges. NaCl-Lsg. gewaschen, über Na₂SO₄ getrocknet und eingeengt: rohes (\pm) -25 als farbloses Öl, das ohne weitere Reinigung weiterverarbeitet wurde. Die Lsg. von (\pm) -25 in 100 ml AcOEt wurde zusammen mit 20 g MnO₂ bei RT. 30 min kräftig geschüttelt. Nach Filtration über Celite wurde eingeengt und an Kieselgel (70-230 mesh) mit Et₂O chromatographiert: 978 mg (57% bzgl. (\pm) -24) (\pm) -26 als gelbliches Öl. 1 H-NMR (90 MHz, CDCl₃) 13) 18): 0,10 (s, $(CH_3)_3$ Si); 0,82, 1,03 (2s, 2 CH_3 —C(1)); 2,63 (s, CH_3 —C(9)); 3,83 (br. s, H-C(4)); 6,23 (d, J = 8, H-C(10)); 6,4-7,0 (m, H-C(7), H-C(8)).
- 5.3. 15,15'-Didehydro-4,5,4',5'-tetrahydro-4,4'-bis[(trimethylsilyl)oxy]- $\epsilon_i\epsilon_c$ -carotin-5,5'-diol ((\pm)-27). Die Lsg. von 196 mg (0,604 mmol) (\pm)-26 und 180 mg (0,516 mmol) (2,7-Dimethylocta-2,6-dien-4-in-1,8-diyl)bis(phosphonsäure-diethylester) [35] in 4 ml THF wurde bei 0° unter Ar langsam tropfenweise mit 2,1 ml 0,5 m K(t-BuO)-Lsg. versetzt und 2 h bei 0° sowie 20 h bei RT. gerührt. Zur Aufarbeitung wurde auf halbges. NaCl-Lsg. gegossen und 3mal mit Et₂O extrahiert. Die vereinigten Et₂O-Phasen wurden über Na₂SO₄ getrocknet und eingeengt. Chromatographie an Kieselgel (70–230 mesh, desaktiviert mit 10 % H₂O) mit Hexan/Et₂O 3:2 ergab (\pm)-27 als roten Lack, der ohne weitere Reinigung zu (\pm)-28 umgesetzt wurde; s. 5.4.
- 5.4. 4,5,4',5'-Tetrahydro-4,4'-bis[(trimethylsilyl)oxy]-ε,ε-carotin-5,5'-diol((±)-28). Die Lsg. von 67 mg (0,089 mmol) (±)-27 in 35 ml AcOEt (versetzt mit 170 μl 1% Chinolin-Lsg. in AcOEt) wurde mit 220 mg Lindlar-Katalysator 1,5 h hydriert. Nach Filtration über Celite und Einengen wurde in 40 ml Heptan gelöst und zur Isomerisierung 40 min unter Rückfluss mit einer 150-W-Wolfram-Lampe bestrahlt. Chromatographie an Kieselgel (70-230 mesh, desaktiviert mit 10% H₂O) mit Hexan/Et₂O 3:2 ergab 53 mg (79%) (±)-28 als roten Lack, der ohne weitere Reinigung zu (±)-22 weiterverarbeitet wurde; s. 5.5.
- 5.5. 4,5,4',5'-Tetrahydro- ε , ε -carotin-4,5,4',5'-tetrol ((\pm)-22). Zur Lsg. von 53 mg (0,070 mmol) (\pm)-28 in 8 ml THF wurden unter Ar 47 mg (0,149 mmol) Bu₄NF gegeben und 1 h bei RT. gerührt. Einengen und präp. DC an SiO₂ mit CH₂Cl₂/MeOH 9:1 ergaben nach mehrfacher Kristallisation aus CH₂Cl₂/Hexan 4,0 mg (9,5%) (\pm)-22. Schmp. und UV/VIS: s. Tab. 4. ¹H-NMR: deckungsgleich mit denjenigen von (6R, 6'R)-22; s. 4.1 und 4.2.

¹⁸⁾ Gemessen ohne Referenz; die (CH₃)₃Si-Gruppe wurde willkürlich auf 0,1 ppm gesetzt.

LITERATURVERZEICHNIS

- [1] P. Karrer, H. Stürzinger, Helv. Chim. Acta 1946, 29, 1829.
- [2] G. Ohloff, S. Mignat, Justus Liebigs Ann. Chem. 1962, 652, 115.
- [3] P. de Tribolet, H. Schinz, Helv. Chim. Acta 1954, 37, 2184.
- [4] R. Egli, Diplomarbeit, Universität Zürich 1970; s.a. R. Buchecker, R. Egli, H. Regel-Wild, Ch. Tscharner, C. H., Eugster, G. Uhde, G. Ohloff, Helv. Chim. Acta 1973, 56, 2548.
- [5] R. Kaiser, D. Lamparsky, Helv. Chim. Acta 1979, 62, 1878.
- [6] K. C. Nicolaou, Wen Sen Li, J. Chem. Soc., Chem. Commun. 1985, 421.
- [7] W. Eschenmoser, C. H. Eugster, Helv. Chim. Acta 1978, 61, 822.
- [8] W. Eschenmoser, P. Uebelhart, C.H. Eugster, Helv. Chim. Acta 1979, 62, 2534.
- [9] W. Eschenmoser, P. Uebelhart, C. H. Eugster, Helv. Chim. Acta 1982, 65, 353.
- [10] A. Haag, C. H. Eugster, Helv. Chim. Acta 1982, 65, 1795.
- [11] A. Haag, C. H. Eugster, Helv. Chim. Acta 1985, 68, 1897.
- [12] W. Eschenmoser, E. Märki-Fischer, C. H. Eugster, Helv. Chim. Acta 1984, 67, 170.
- [13] M. Acemoglu, C. H. Eugster, Helv. Chim. Acta 1984, 67, 184.
- [14] M. Acemoglu, C.H. Eugster, Helv. Chim. Acta 1984, 67, 471.
- [15] M. Acemoglu, C.H. Eugster, Helv. Chim. Acta 1984, 67, 2226.
- [16] A. Haag, W. Eschenmoser, C. H. Eugster, Helv. Chim. Acta 1980, 63, 10.
- [17] Y. R. Naves, Helv. Chim. Acta 1947, 30, 769.
- [18] H. Gerlach, Helv. Chim. Acta 1968, 51, 1587.
- [19] a) R. J. Gritter, in 'The Chemistry of the Ether Linkage', Ed. S. Patai, Interscience, New York, 1967, S. 373ff;
 b) D. N. Kirk, Chem. Ind. 1973, 109.
- [20] W. Eschenmoser, P. Uebelhart, C. H. Eugster, Helv. Chim. Acta 1981, 64, 2681.
- [21] a) T. Oritani, K. Yamashita, Tetrahedron Lett. 1972, 25, 2521; b) M. Shibasaki, S. Terashima, S.-I. Yamada, Chem. Pharm. Bull. 1976, 24, 315.
- [22] L. Bartlett, W. Klyne, W. P. Mose, P. M. Scopes, G. Galasko, A. K. Mallams, B. C. L. Weedon, J. Szabolcs, G. Tóth, J. Chem. Soc. (C) 1969, 2527.
- [23] V. Sturzenegger, R. Buchecker, G. Wagnière, Helv. Chim. Acta 1980, 63, 1074.
- [24] K. Noack, in 'Carotenoid Chemistry and Biochemistry', Ed. G. Britton und T. W. Goodwin, Pergamon Press, Oxford, 1982, S. 135.
- [25] S. Hertzberg, S. Liaaen-Jensen, Acta Chem. Scand., Ser. B 1977, 31, 215.
- [26] R. Buchecker, U. Marti, C. H. Eugster, Helv. Chim. Acta 1982, 65, 869.
- [27] G. Ohloff, E. Otto, V. Rautenstrauch, G. Snatzke, Helv. Chim. Acta 1973, 56, 1874.
- [28] C.H. Eugster, Pure Appl. Chem. 1985, 57, 639.
- [29] O. Isler, H. Gutmann, U. Solms, Eds., 'Carotenoids', Birkhäuser, Basel, 1971.
- [30] H. Cadosch, C. H. Eugster, Helv. Chim. Acta 1974, 57, 1472.
- [31] P. Foss, R. R. L. Guillard, S. Liaaen-Jensen, Phytochemistry 1986, 25, 119.
- [32] a) T. Konno, H. Meguro, T. Murakami, M. Hatano, Chem. Lett. 1981, 953; b) P. H. Schippers, H. P. J. M. Dekkers, Anal. Chem. 1981, 53, 778; c) K. Tuzimura, T. Konno, H. Neguro, M. Hatano, T. Murakami, K. Koshiwabara, K. Saito, Y. Kondo, T. M. Suzuki, Anal. Biochem. 1977, 81, 167.
- [33] P.S. Manchand, R. Rüegg, U. Schwieter, P.T. Siddons, B.C.L. Weedon, J. Chem. Soc. 1965, 1019.
- [34] G. Englert, in 'Carotenoid Chemistry and Biochemistry', Ed. G. Britton und T.W. Goodwin, Pergamon Press, Oxford, 1982, S. 107.
- [35] J. D. Surmatis, A. Ofner, J. Org. Chem. 1961, 26, 1174.